

Mennyivel tudunk többet az erős kölcsönhatásról?

Siklér Ferenc

*MTA Wigner FK Részecske- és Magfizikai Intézet
Budapest*



Magyar Fizikus Vándorgyűlés
Debrecen, 2013. augusztus 22.

Tartalom

- Bevezető
 - Részecskék, kölcsönhatások, detektorok

Tartalom

- Bevezető
 - Részecskék, kölcsönhatások, detektorok
- Alapvető mérések
 - A proton hatásos felülete
 - Hiányzó eszközök
 - * kis impulzusú, alacsony tévesztésű nyomkövetés
 - * kölcsönhatási pontok keresése
 - Töltött hadronok eloszlásai

Tartalom

- Bevezető
 - Részecskék, kölcsönhatások, detektorok
- Alapvető mérések
 - A proton hatásos felülete
 - Hiányzó eszközök
 - * kis impulzusú, alacsony tévesztésű nyomkövetés
 - * kölcsönhatási pontok keresése
 - Töltött hadronok eloszlásai
- Azonosított részecskék eloszlásai
 - Energiaveszteség-ráta
 - * egy egyszerű parametrizáció és használata
 - Kölcsönhatások összehasonlítása: univerzalitás, gluon-telítés

Tartalom

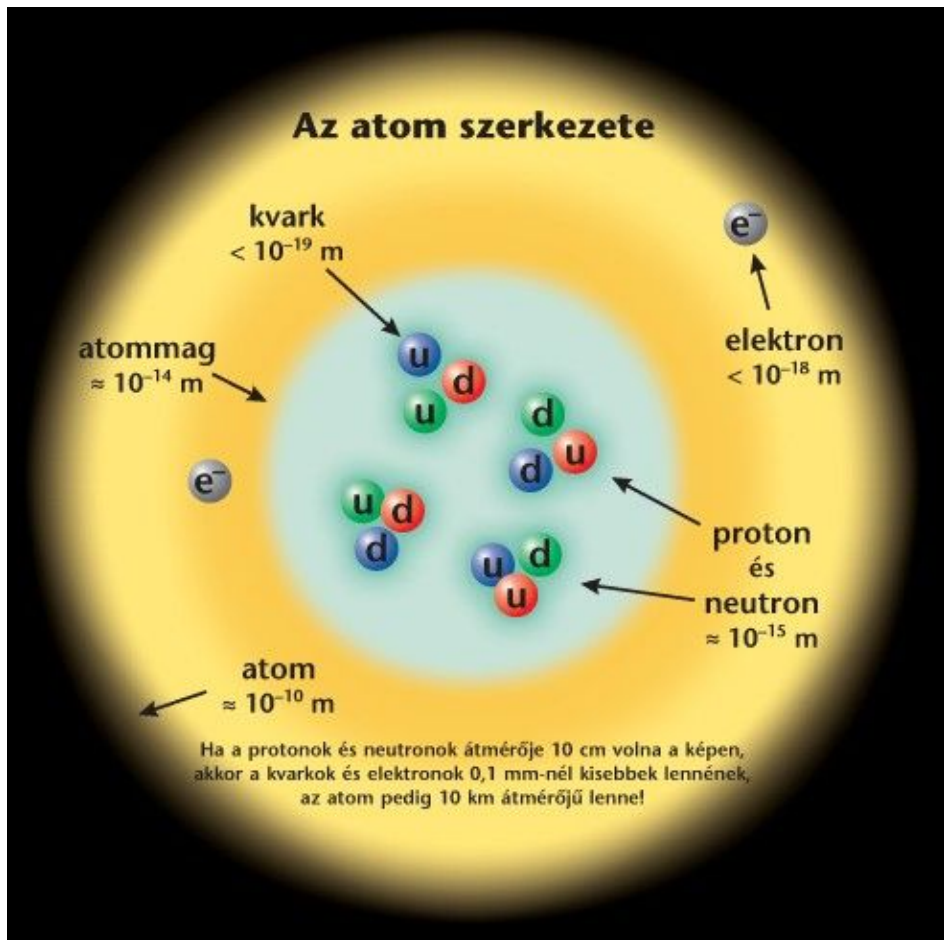
- Bevezető
 - Részecskék, kölcsönhatások, detektorok
- Alapvető mérések
 - A proton hatásos felülete
 - Hiányzó eszközök
 - * kis impulzusú, alacsony tévesztésű nyomkövetés
 - * kölcsönhatási pontok keresése
 - Töltött hadronok eloszlásai
- Azonosított részecskék eloszlásai
 - Energiaveszteség-ráta
 - * egy egyszerű parametrizáció és használata
 - Kölcsönhatások összehasonlítása: univerzalitás, gluon-telítés
- Nehézionok fizikája

Tartalom

- Bevezető
 - Részecskék, kölcsönhatások, detektorok
- Alapvető mérések
 - A proton hatásos felülete
 - Hiányzó eszközök
 - * kis impulzusú, alacsony tévesztésű nyomkövetés
 - * kölcsönhatási pontok keresése
 - Töltött hadronok eloszlásai
- Azonosított részecskék eloszlásai
 - Energiaveszteség-ráta
 - * egy egyszerű parametrizáció és használata
 - Kölcsönhatások összehasonlítása: univerzalitás, gluon-telítés
- Nehézionok fizikája

Krajczár Krisztián, Siklér Ferenc, Veres Gábor, Zsigmond Anna [Wigner-CERN-ELTE]

Elemi részecskék és kölcsönhatások



Az anyagi részecskék három családja (fermionok)

	I	II	III	
tömeg \rightarrow	2.4 MeV	1.27 GeV	171.2 GeV	0
töltés \rightarrow	$\frac{2}{3}$	$\frac{2}{3}$	$\frac{2}{3}$	0
spin \rightarrow	$\frac{1}{2}$	$\frac{1}{2}$	$\frac{1}{2}$	1
név \rightarrow	up	charm	top	γ
Kvarkok	u d down	c s strange	t b bottom	g gluon
Leptonok	<2.2 eV 0 $\frac{1}{2}$ elektron-neutríno	<0.17 MeV 0 $\frac{1}{2}$ műon-neutríno	<15.5 MeV 0 $\frac{1}{2}$ tau-neutríno	91.2 GeV 0 1 Z Z-bozon
	e elektron	μ műon	τ tau	W W bozon

Bozonok (kölcsönhatások)

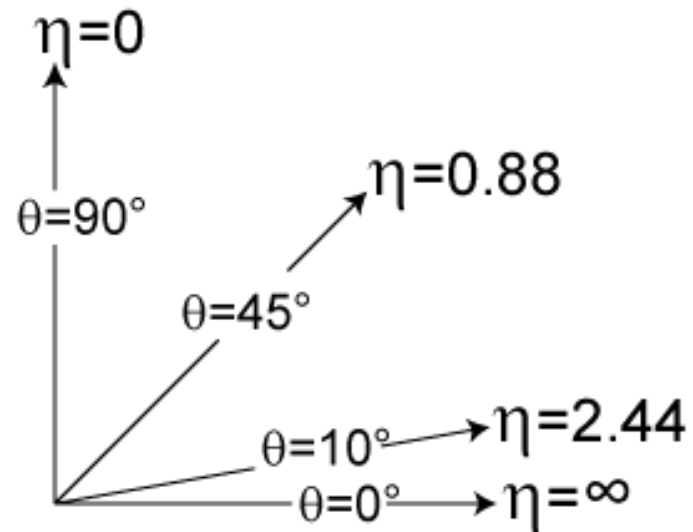
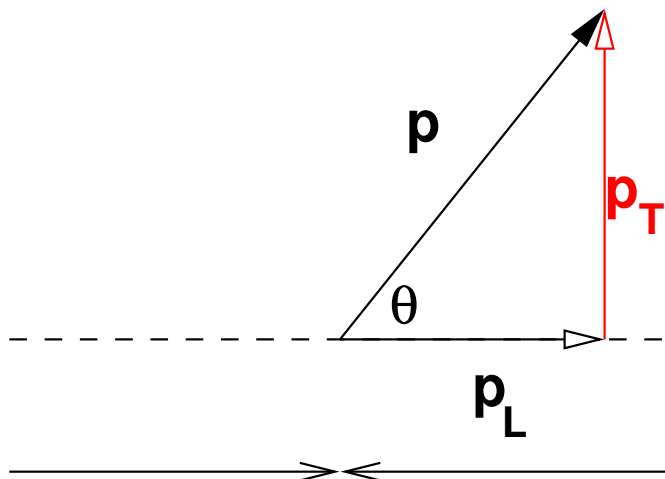
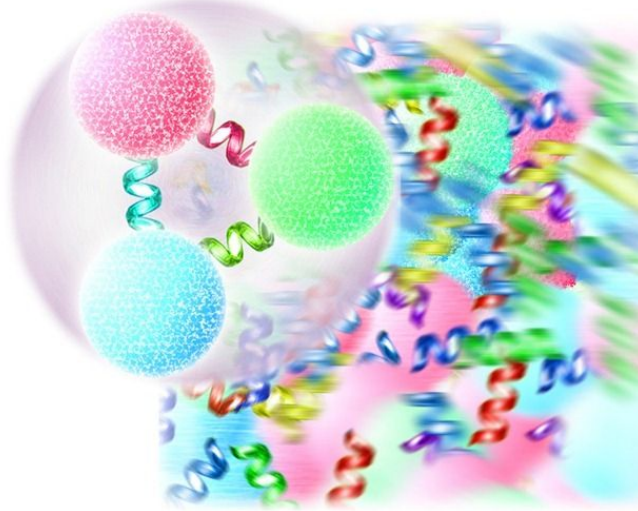
HIGGS BOSON



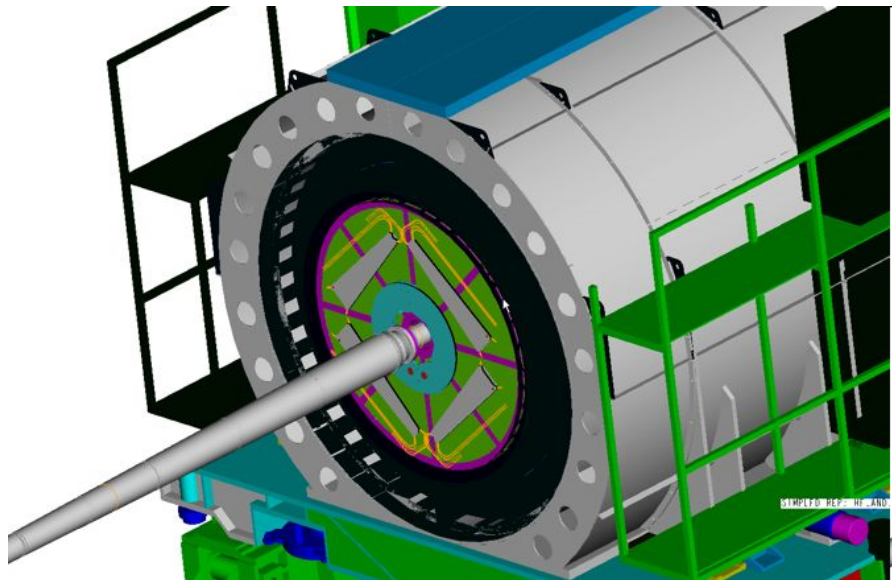
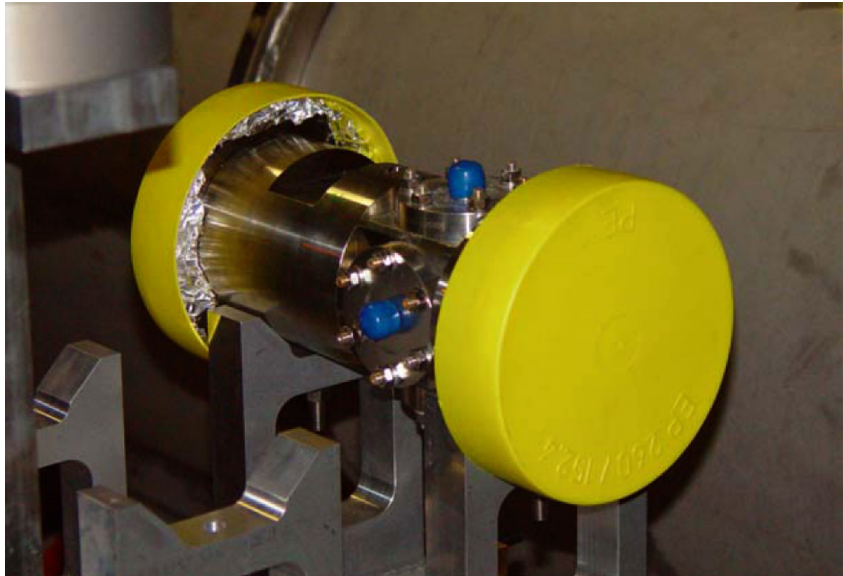
Elektromágneses, gyenge, erős; tömegvonzás
A részecskefizika Standard Modellje

Proton-proton ütközések

Gyors eredmények? Kvarkok és gluonok \Rightarrow erős kölcsönhatás
(A látható világ, az atommagok tömegük javát a kvarkokat bezáró erőkből nyerik)



A kölcsönhatás észlelése



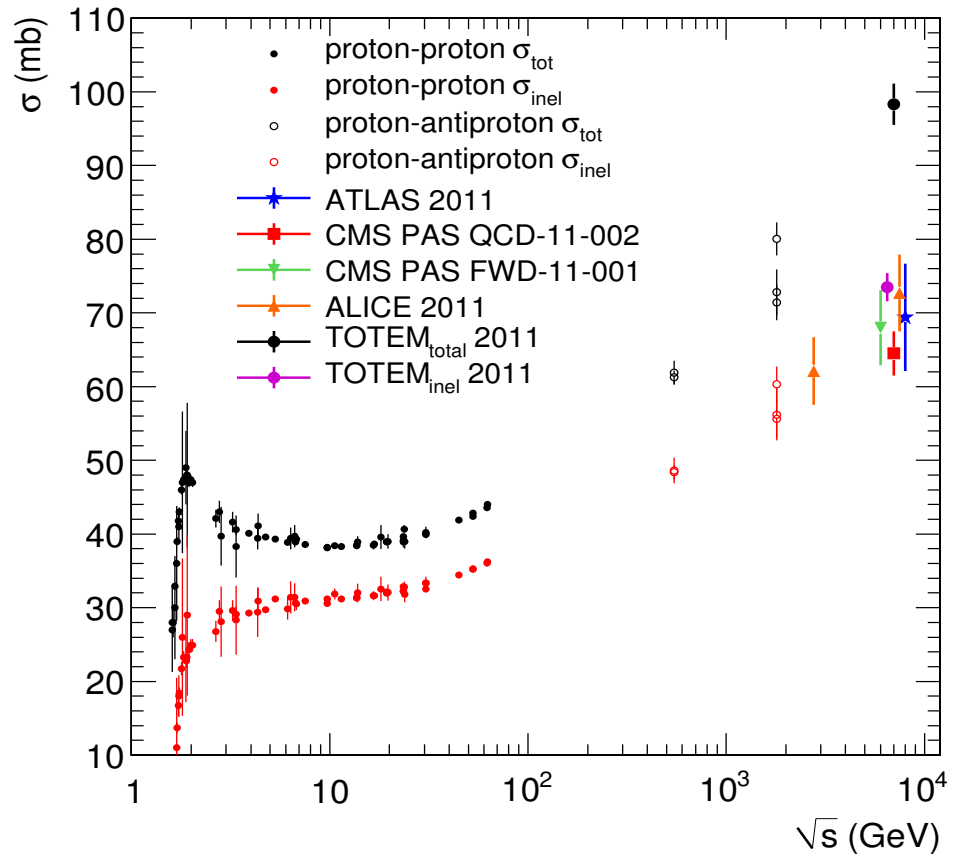
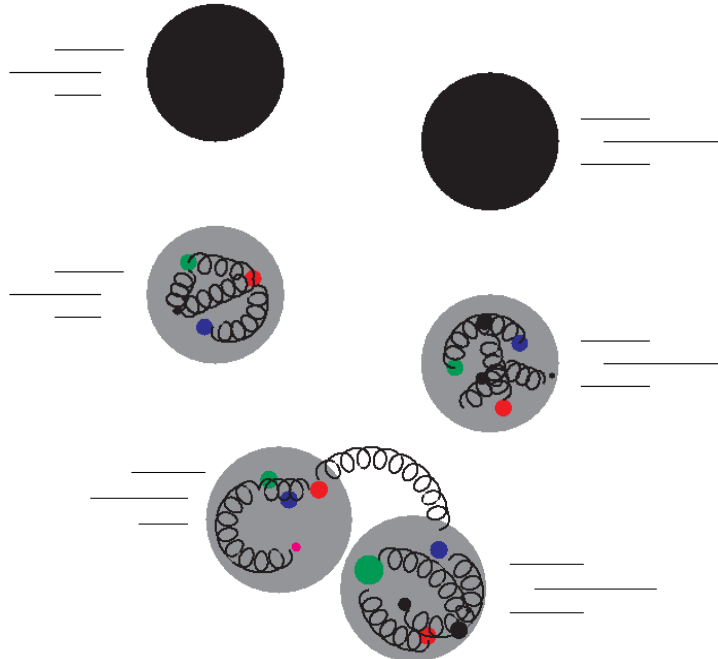
Szcintillációs számlálók (BSC)

[CMS DN-2010/018]

Kisszögű kaloriméterek (HF)

A rugalmatlan ütközések 80-90%-át látjuk
Mérjük meg a kölcsönhatás valószínűségét!

A proton hatásos felülete



- Hatáskeresztmetszet

PLB 722 (2013) 5 [CMS AN-2011/061]

- Más forrásból tudjuk, megmértük a protoncsomagok intenzitását, alakját
- Számoljuk meg, hogy hány ütközés történik; kétféle módszer
 - * alacsony ütközési valószínűség: vannak-e keltett részecskék (HF)
 - * magas ütközési vszség: a kölcsönhatási pontok számeloszlása (nyomkövető)

Eredmény = $7 \text{ fm}^2 \gg r^2\pi$, és növekszik

Nagy együttműködések – szerzőség?

Eur. Phys. J. C (2012) 72:2164
DOI 10.1140/epjc/s10052-012-2164-1

THE EUROPEAN
PHYSICAL JOURNAL C

Regular Article - Experimental Physics

Study of the inclusive production of charged pions, kaons, and protons in pp collisions at $\sqrt{s} = 0.9, 2.76$, and 7 TeV

The CMS Collaboration*

CERN, Geneva, Switzerland

Received: 19 July 2012 / Revised: 5 September 2012

© CERN for the benefit of the CMS collaboration 2012. This article is published with open access at Springerlink.com

Abstract Spectra of identified charged hadrons are measured in pp collisions at the LHC for $\sqrt{s} = 0.9, 2.76$, and 7 TeV. Charged pions, kaons, and protons in the transverse-momentum range $p_T \approx 0.1\text{--}1.7$ GeV/c and for rapidities $|y| < 1$ are identified via their energy loss in the CMS silicon tracker. The average p_T increases rapidly with the mass of the hadron and the event charged-particle multiplicity, independently of the center-of-mass energy. The fully corrected p_T spectra and integrated yields are compared to various tunes of the PYTHIA 6 and PYTHIA 8 event generators.

energy deposits in silicon detectors, in pp collisions at $\sqrt{s} = 0.9, 2.76$, and 7 TeV. In certain phase space regions, particles can be identified unambiguously while in other regions the energy loss measurements provide less discrimination power and more sophisticated methods are necessary.

This paper is organized as follows. The Compact Muon Solenoid (CMS) detector, operating at the Large Hadron Collider (LHC), is described in Sect. 2. Elements of the data analysis, such as event selection, tracking of charged particles, identification of interaction vertices, and treatment of

Nagy együttműködések – szerzőség?

Nagy együttműködések – szerzőség?

Name	Code	Data	Conference	URL	HN	Status	ARC_Member
Spectra of identified charged hadrons at sqrt(s) = 0.9, 2.76 and ...	FSQ-12-014	2010		www hn	PUB	show 5 members	show 5 members
Journal: EPJC Spectra of identified charged hadrons at sqrt(s) = 0.9, 2.76 and 7 TeV via tracker energy loss Notes: AN-2010/143 CDS Record: 1434724 CERN preprint: CERN-PH-EP-2012-202							
Study of exclusive gamma-gamma --> WW	FSQ-12-010	2011	Moriond2013	www hn	PUB	show 5 members	show 3 readers
Journal: JHEP Study of exclusive high-mass gamma-gamma --> e, mu channels: QED di-tau & anomalous quartic-gauge couplings in gamma-gamma-->WW Notes: AN-2012/112 CDS Record: 1518733 CERN preprint: CERN-PH-EP-2013-084							
Measurement of exclusive chi_c production	FSQ-12-011	2010		hn	AWG	no ARC	no IRC
Journal: PRL Measurement of exclusive chi_c production							show
Double-Parton-Scattering in Z-->mumu events at 7 TeV	FSQ-12-012	2010		www hn	AWG	no ARC	no IRC
Journal: EPJC Double-Parton-Scattering in Z-->mumu events at 7 TeV Notes: AN-2010/280							show
Double-Parton-Scattering in 4j and 2b2j events at 7 TeV	FSQ-12-013	2010	LP2013	www hn	PAS-PUB	show 4 members	no IRC
Journal: PRD Double-Parton-Scattering in 4j and 2b2j events at 7 TeV Notes: AN-2013/092							show
Spectra of identified charged hadrons at sqrt(s) = 0.9, 2.76 and ...	FSQ-12-014	2010		www hn	PUB	show 5 members	show 5 readers
Journal: EPJC Spectra of identified charged hadrons at sqrt(s) = 0.9, 2.76 and 7 TeV via tracker energy loss Notes: AN-2010/143 CDS Record: 1434724 CERN preprint: CERN-PH-EP-2012-202							
Forward-backward multiplicity correlations	FSQ-12-015	2010		hn	Inactive	no ARC	no IRC
Forward-backward multiplicity correlations							show
Charged particle multiplicities in inelastic pp collisions	FSQ-12-016	2010		www hn	AWG	no ARC	no IRC
Journal: EPJC Charged particle multiplicities in inelastic pp collisions Notes: AN-2011/493							
Double Parton Scattering in 3jet + gamma events at 7 TeV	FSQ-12-017			www hn	AWG	no ARC	no IRC
Double Parton Scattering in 3jet + gamma events at 7 TeV Notes: AN-2013/017							show
Measurement of exclusive Upsilon photoproduction	FSQ-12-018	2011	TOP2013	www hn	AWG	show 4 members	no IRC
Measurement of exclusive Upsilon photoproduction Notes: AN-2013/147							show
EWK production of Z bosons with Forward/Backward Jets	FSQ-12-019	NONE		www hn	SUB	show 5 members	show 6 readers
Journal: JHEP EWK production of Z bosons with Forward/Backward Jets (including VBF Z production) Notes: AN-2012/092, AN-2012/263 CDS Record: 1493475 CERN preprint: CERN-PH-EP-2013-060							
Measurement of the UE activity using leading tracks in p-p at 7 TeV	FSQ-12-020	2010		www hn	PAS-PUB	show 4 members	no IRC
Journal: JHEP Measurement of the underlying event activity using leading tracks in p-p at 7 TeV Notes: AN-2011/349 CDS Record: 1478982							show

Nagy együttműködések – szerzőség?

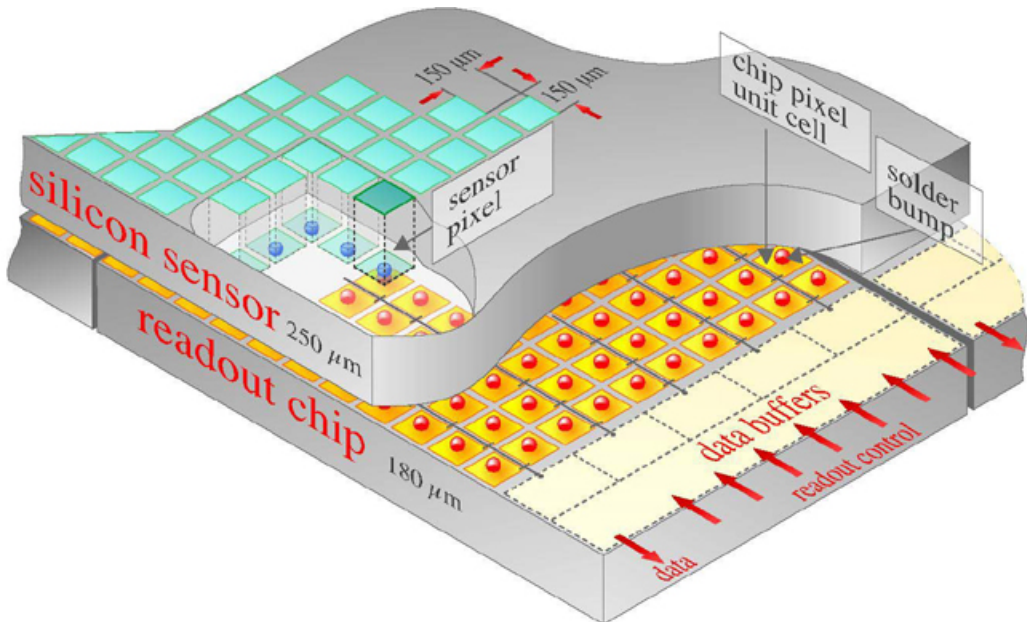
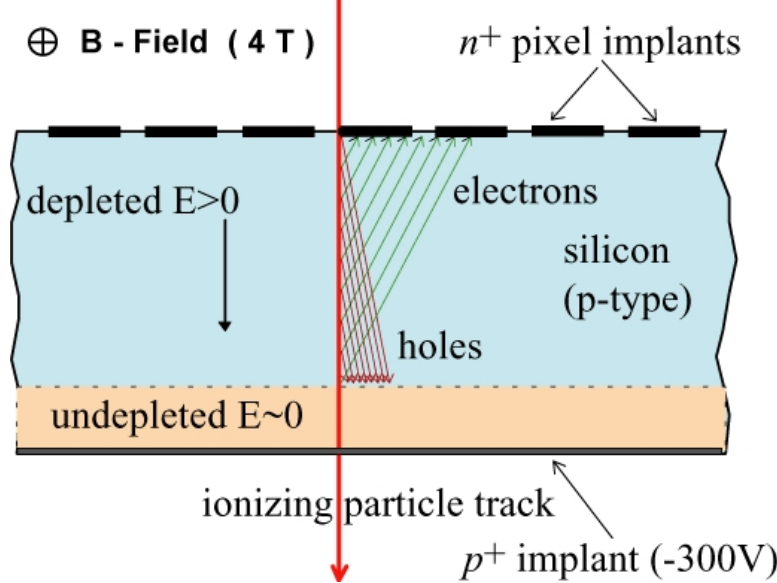
Name	Code	Data	Conference	URL	HN	Status	ARC_Member
Spec	Analysis Information:						
Job	Analysis Name:	Spectra of identified charged hadrons at \sqrt{s} = 0.9, 2.76 and 7 TeV via tracker energy loss					
	Code:	FSQ-12-014					
	Description:	Spectra of identified charged hadrons at \sqrt{s} = 0.9, 2.76 and 7 TeV via tracker energy loss					
	URL:	https://twiki.cern.ch/twiki/bin/view/CMS/IdentifiedSpectraViaDedx					
	Status:	PUB (Published)					
	Contact:	Ferenc Sikler (BUDAPEST)					
ARC:	Michele Arneodo (TORINO) (LE) , Giacomo Bruno (LOUVAIN) , Matthew Timothy Jones (PURDUE) , Hannes Jung (DESY) (Chairperson) , Kevin Matthew Stenson (COLORADO)						
PAS:	http://cms-physics.web.cern.ch/cms-physics/public/FSQ-12-014-pas.pdf						
target Date Pre_App:	02/02/2012						
target Date Phy_App:	19/03/2012						
target Conference:							
target Journal:	EPJC						
target Date Pub:							
Awg Name:	FSQ						
CDS Record:	1434724						
CERN preprint:	CERN-PH-EP-2012-202						
samples:							
notes:	2010/143						
Remarks:							

Nagy együttműködések – szerzőség?

Name	Code	Data	Conference	URL	HN	Status	ARC_Member
Spec	Analysis Information:					PUB	show 5 members
Job	Analysis	CMS AN-2010/143					-2010/143 CDS Re
	Code:						
Descript	Title:	Spectra of identified charged hadrons at $\sqrt{s} = 0.9, 2.76$ and 7 TeV via tracker energy loss					
URL:	Most Recent File Version:	AN2010_143_v10.pdf					
	URL:	AN2010_143_v5.pdf					
Status:	Status:	AN2010_143_v1.pdf					
Contact:	Contact:	AN2010_143_v7.pdf					
		AN2010_143_v6.pdf					
ARC:	ARC:	AN2010_143_v10.pdf					
		AN2010_143_v2.pdf					
PAS:	PAS:	AN2010_143_v9.pdf					
target Da	target Da	AN2010_143_v4.pdf					
		AN2010_143_v3.pdf					
target Da	target Da	AN2010_143_v8.pdf					
target Co	Submitter:	Ferenc Sikler					
target Jo	Authors:	Ferenc Sikler					
target Da	Abstract:	Measured spectra of identified charged hadrons produced in double-sided pp collisions at $\sqrt{s} = 0.9, 2.76$ and 7 TeV are presented. The charged pions, kaons and protons are identified with help of their energy loss in the silicon tracker (pixels and strips), and using their track fit χ^2 . The obtained p_T spectra and integrated yields are compared to models. The multiplicity and energy dependence of the above quantities are also studied.					
Awg Nar							
CDS Re							
CERN p	Status:	DRAFT					
	Registered on:	2010/05/26 13:50:07					
samples	Last updated on:	2012/03/06 09:18:05					
notes:		2010/143					
Remarks:							

Nagy együttműködések – szerzőség?

Nyomkövető detektor



- Szilícium alapú nyomkövető rendszer

- Pixel detektor: n-on-n; három hordó-réteg (4, 7 és 10 cm-es sugarakkal), és két végsapka-korong minden oldalon; 300 μm vastag
1440 modul; 150 $\mu\text{m} \times 100 \mu\text{m}$ pixelek
- Strip detektor: p-in-n; néhány rétege dupla; 300 és 500 μm vastag
15 148 modul; a csíkok változó szélességűek (80–150 μm)

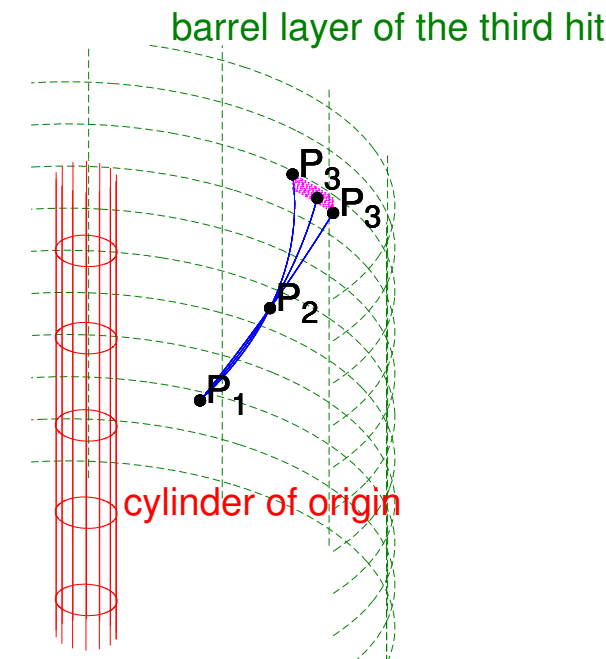
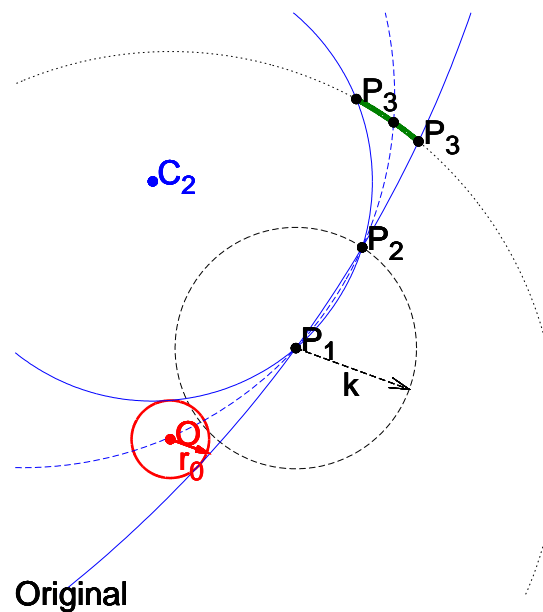
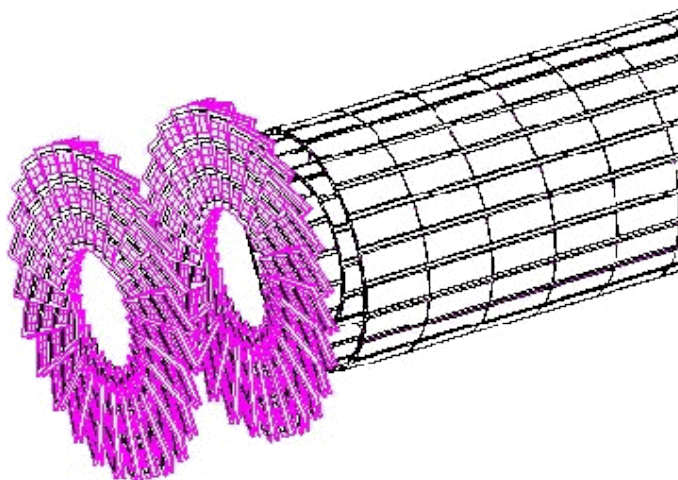
Klaszterek: szomszédos, számottevő energialeadású pixelek/csíkok csoportjai

Kis impulzusú nyomkövetés

Vannak érdekes részecskék $1 \text{ GeV}/c$ alatt? Persze. . .

- Ponthármasok keresése

- vegyük pontokat az első és a második hengerről (P_1 és P_2)
- két határoló kört keresünk, melyek átmennek O , P_1 és P_2 -n
- inverzió P_1 középponttal és $k = P_1P_2$ sugárral
- megoldás a $P_3 - P_3$ íven



Int J Mod Phys E 16 (2007) 1819, J Phys G 35 (2008) 104150 [CMS AN-2006/100]

Működik egészen 0.1 , 0.2 és $0.3 \text{ GeV}/c$ -ig pionokra, kaonokra és protonokra

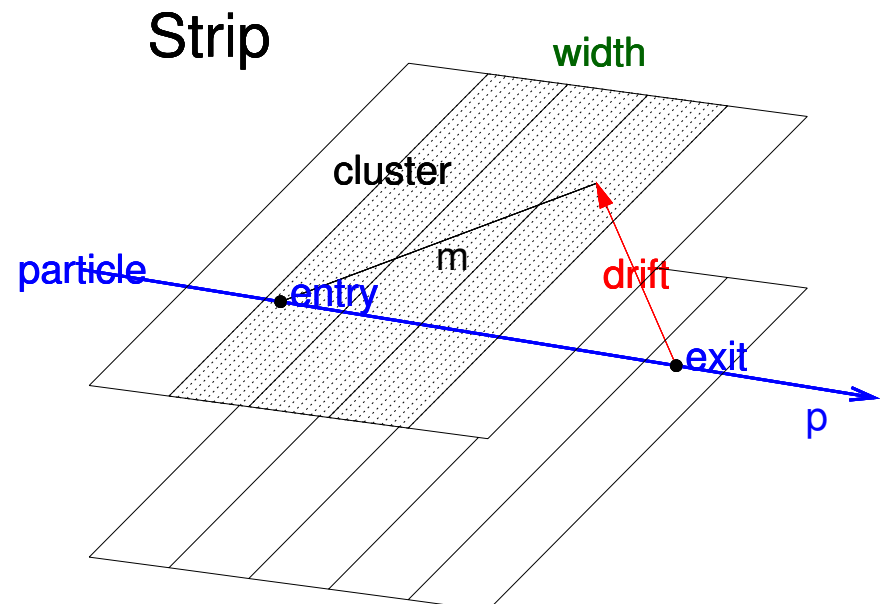
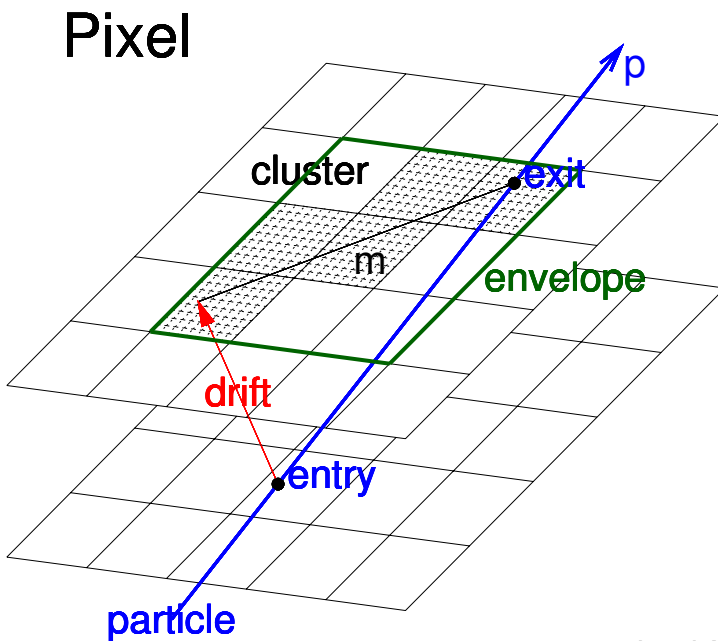
Alacsony tévesztésű nyomkövetés

- Probléma

- túl sok beütés, melyik pont melyik részecskehez tartozik?

- Segítség

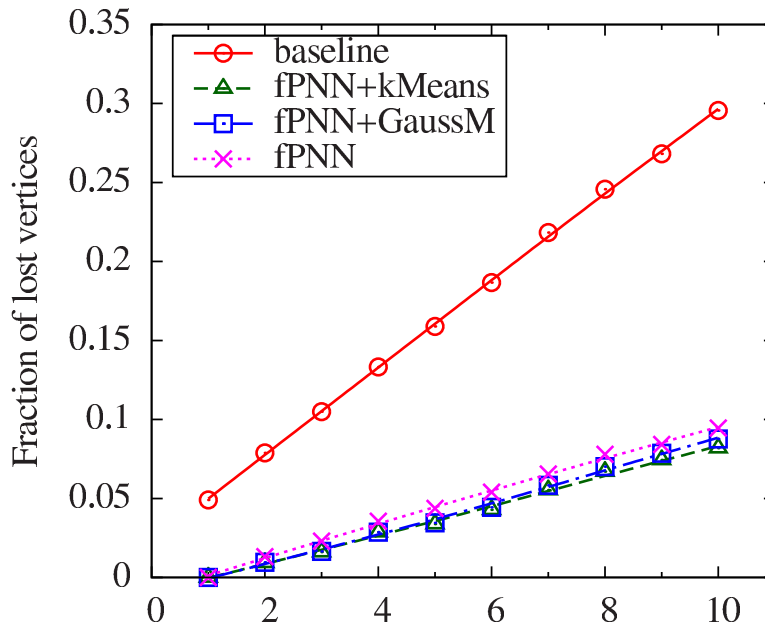
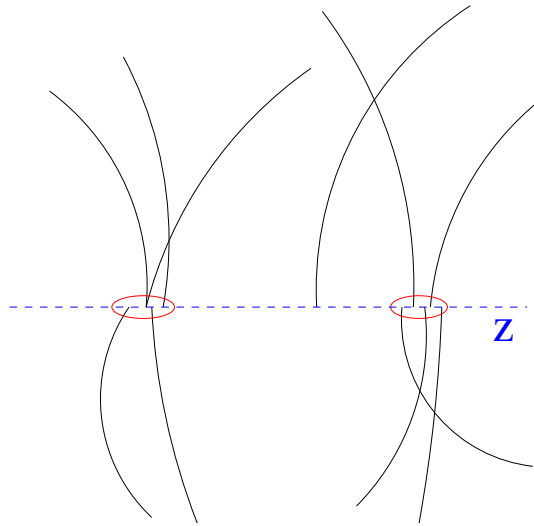
- töltött részecske → leadott energia → klaszter
- a szilícium vastag ($\approx 300 \mu\text{m}$), a pixelek méretei $150 \mu\text{m} \times 100 \mu\text{m}$
- a klaszterek alakja szoros kapcsolatban van a bejövő részecske irányával



Int J Mod Phys E 16 (2007) 1819, J Phys G 35 (2008) 104150 [CMS AN-2006/100]

Hatókony szűrő

Kölcsönhatási pontok javított keresése



Nucl Instrum Meth A 621 (2010) 526

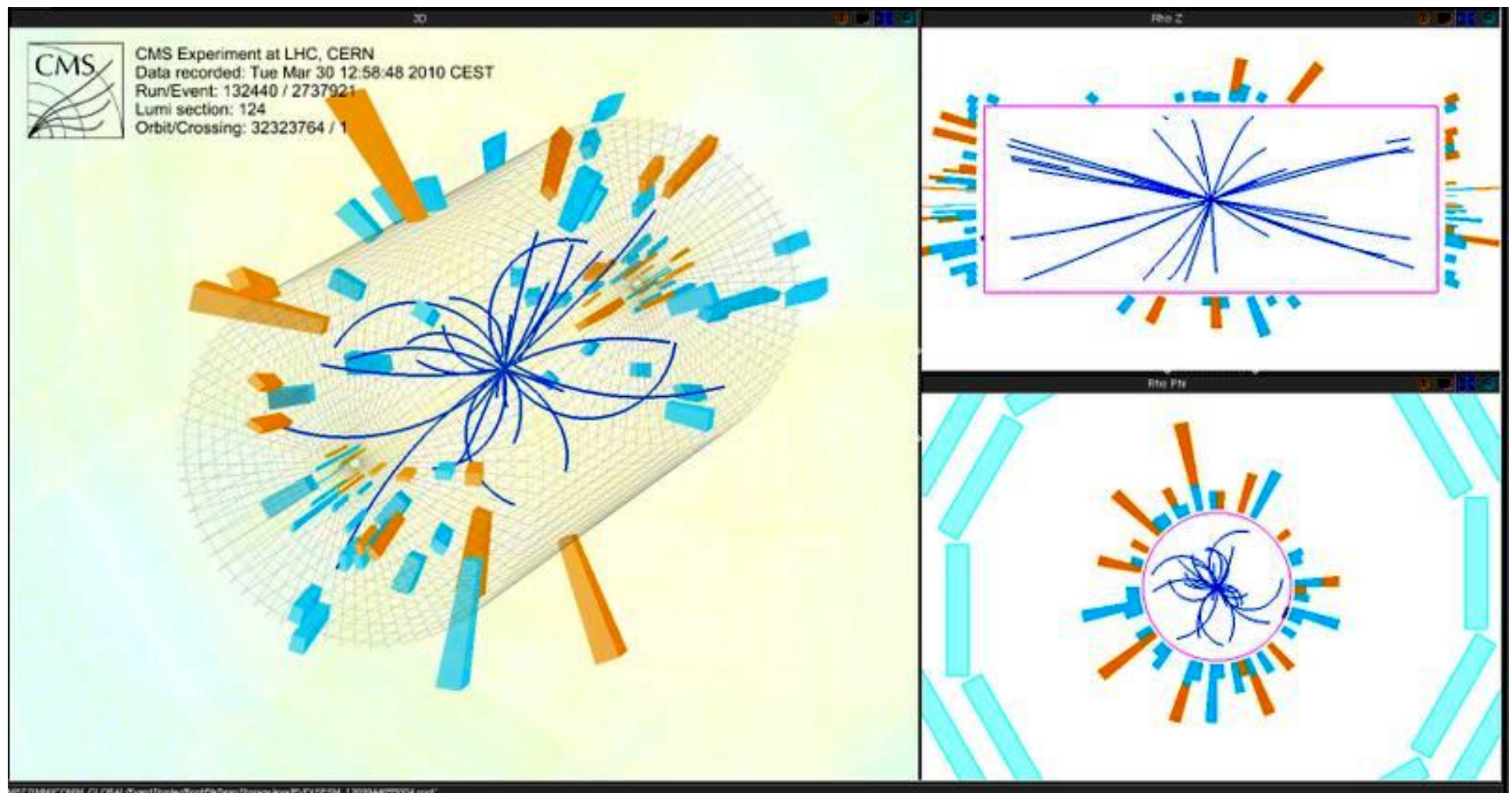
A részecskék nyalábközelpontjának z koordinátáját és annak becsült σ_z hibája

• Összevonó klaszterezés

- két részecske d távolsága: $d^2 = (z_i - z_j)^2 / (\sigma_i^2 + \sigma_j^2)$
- minden lépésben megkeressük a két legközelebbi klasztert (d_{\min}) és egyesítjük
- az új klaszter z -je és σ -ja a két klaszter súlyozott átlaga
- addig folytatjuk, amíg d_{\min} túl nagy nem lesz

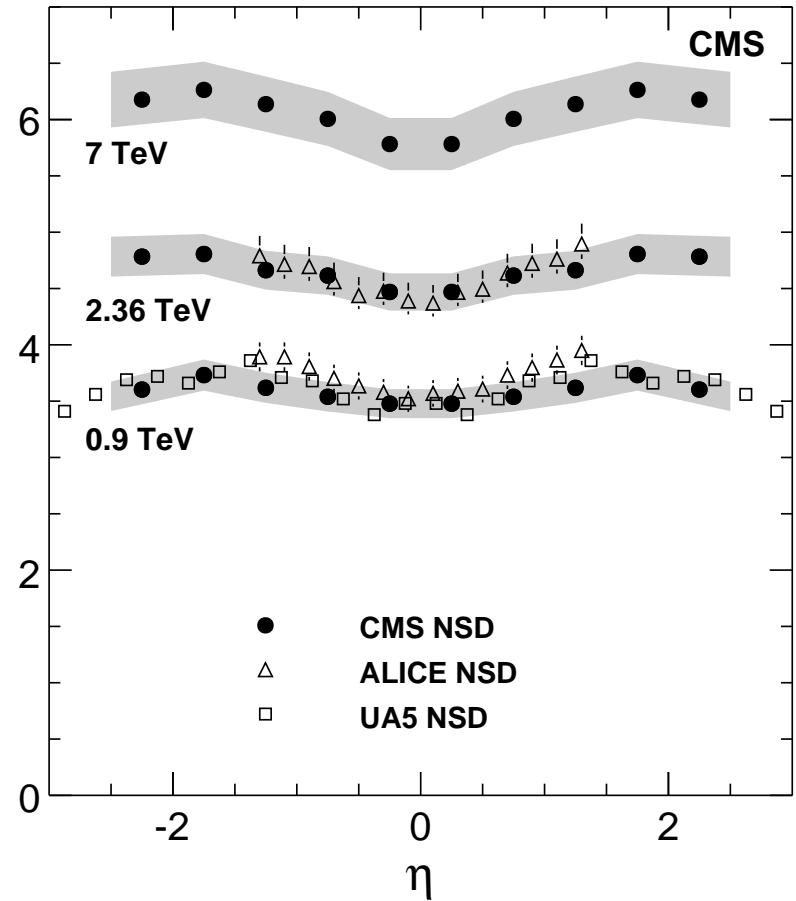
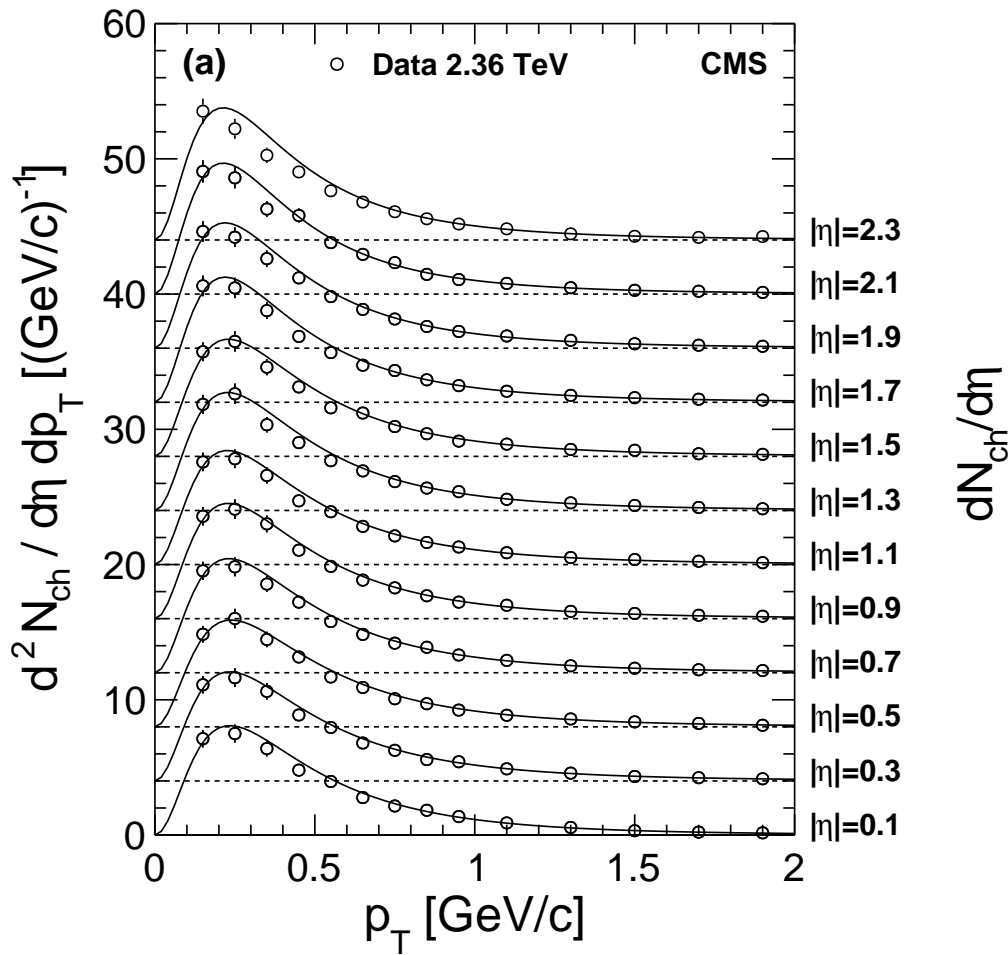
Jobb hatásfok, kisebb tévesztés

Töltött hadronok eloszlásai



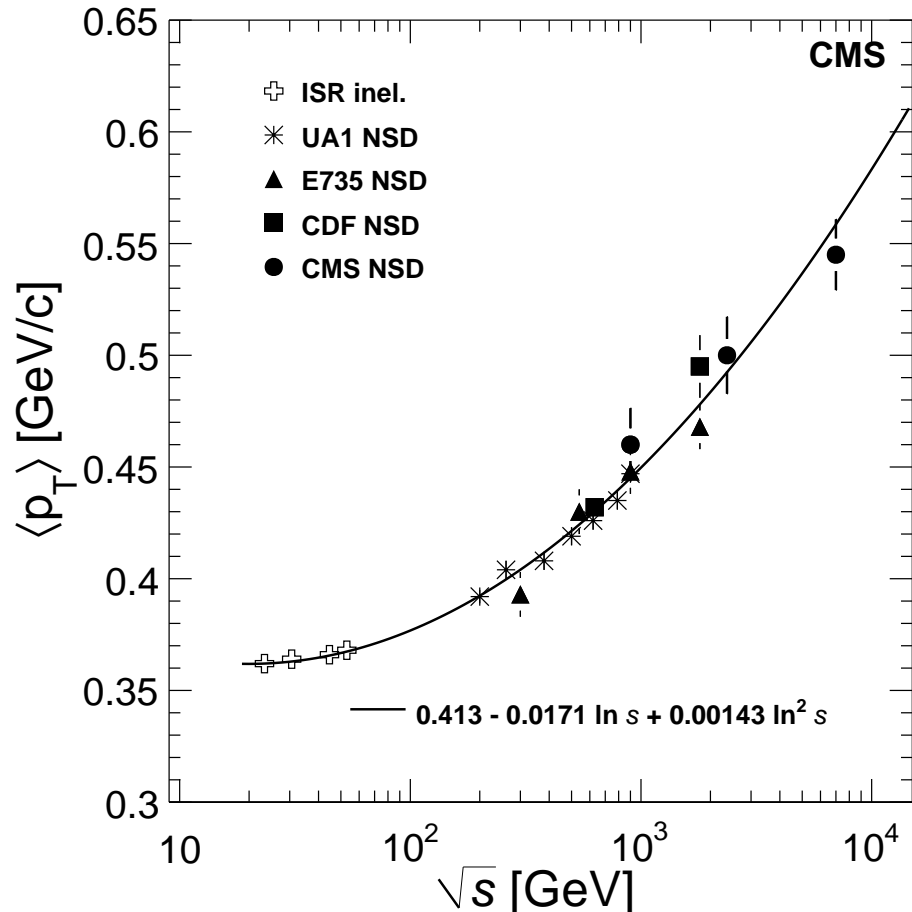
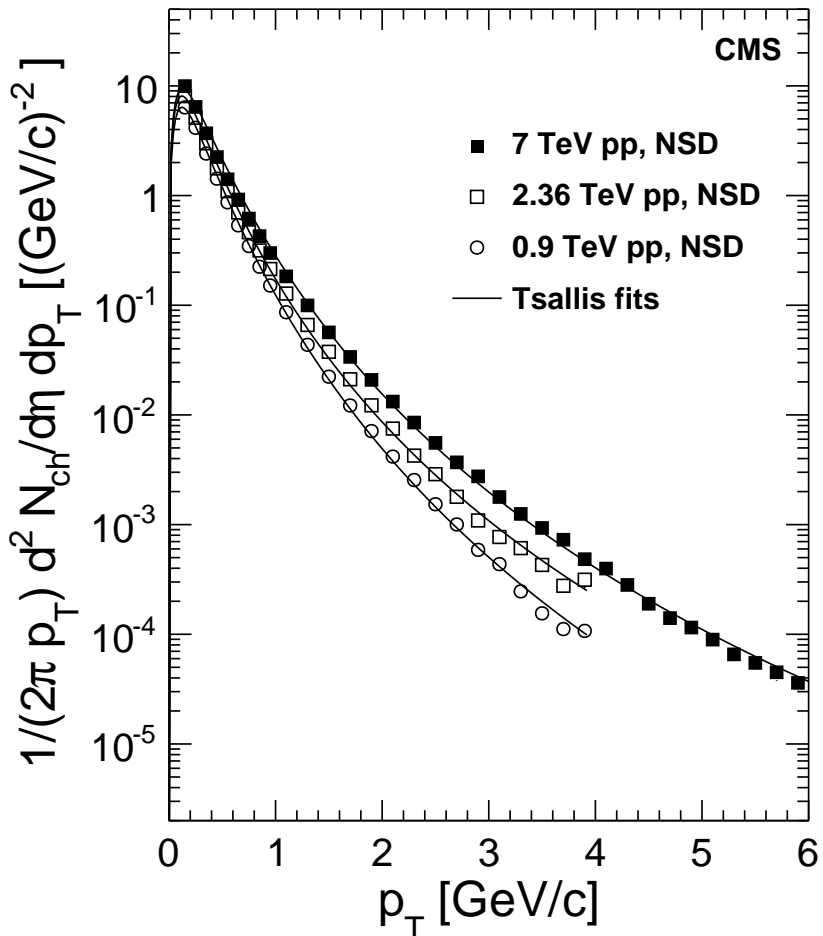
Egy rekonstruált $\sqrt{s} = 7$ TeV-es proton-proton ütközés

Töltött hadronok eloszlásai



Gyors kiértékelés, differenciális spektrumok, 3 módszer
Kis p_T -n is működő nyomkövetés, vertexek keresése
Mérések 0,9, 2,36 és 7 TeV-en

Töltött hadronok eloszlásai



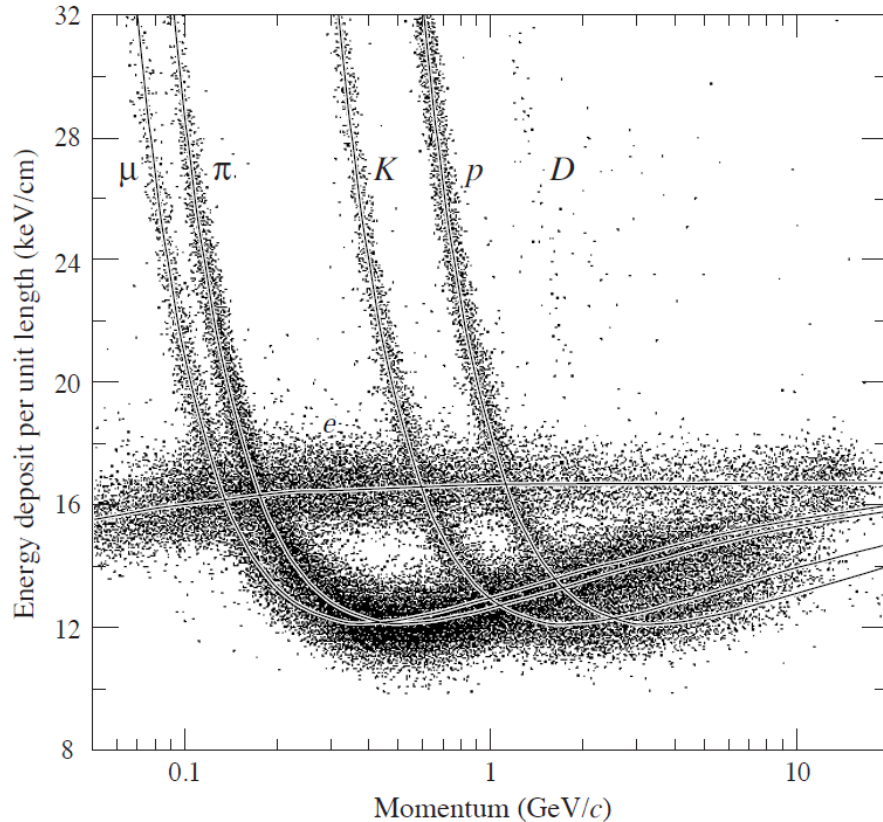
Első impulzusmérés, első 2,36 TeV-es mérés

A vártnál meredekebb energiafüggés: $dN/d\eta$ és $\langle p_T \rangle$

Eseménygenerátorok javítása, gluon-telítéses modellek sikere

J High Energy Phys. 02 (2010) 041 [CMS AN-2009/182]
Phys Rev Lett 105 (2010) 022002 [CMS AN-2010/069]

Részecskeazonosítás – energiaveszteség

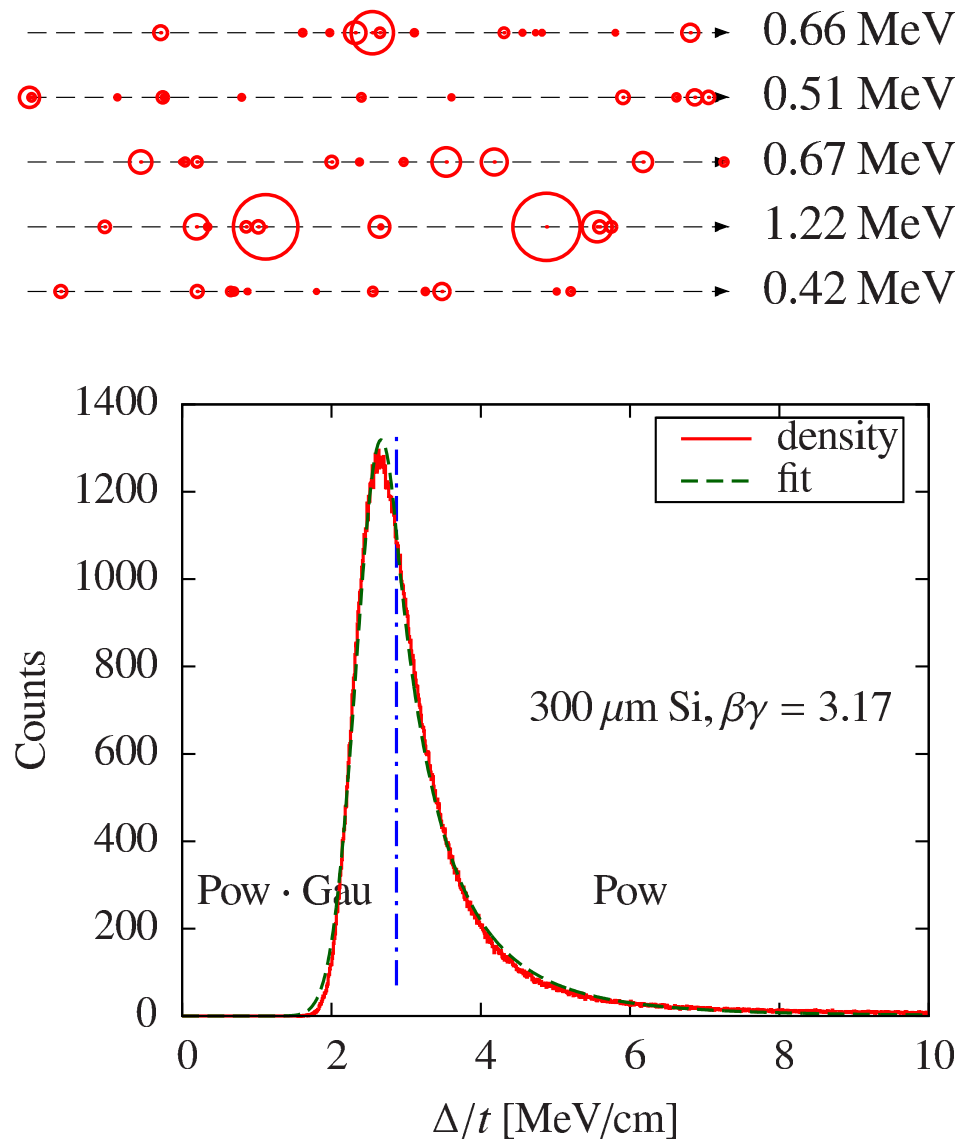


- Hogyan?

- nézzük a sorbarendezett m_i értékek ($m_i \leq m_{i+1}$) súlyozott átlagát
- levágott átlagolás: eldobjuk a nagy energialeadásokat

Lehet okosabban? Keressünk olyan w_i súlyokat, ahol a relatív felbontás a legkisebb!

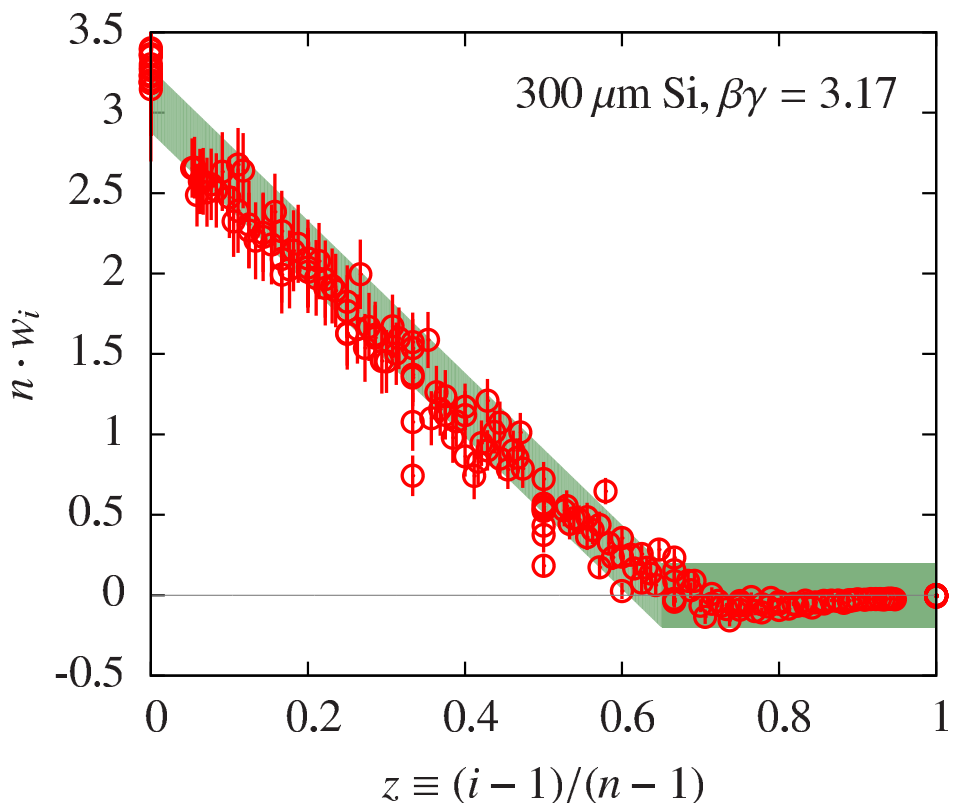
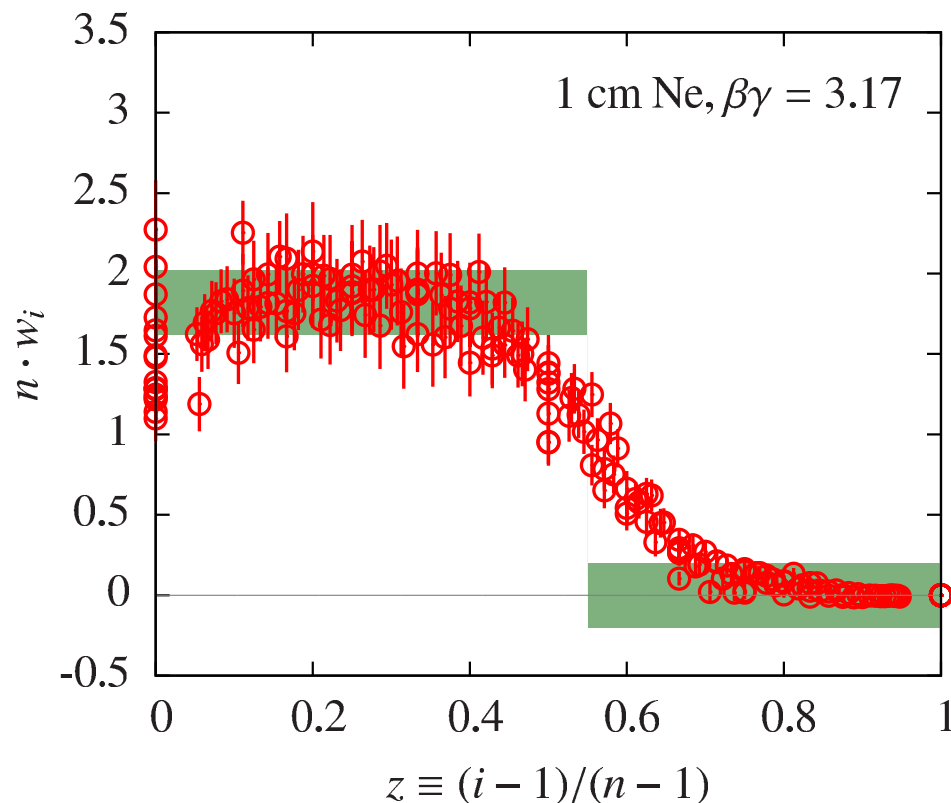
Energiaveszteség-ráta becslése – lineáris kombináció



- Töltött részecske áthaladása anyagon
 - Bonyolult folyamat, gerjesztések, szórások, $1/\Delta E^2$
 - Az üközések energiaspektruma: Bethe-Fano (Si), Fermi virtuális foton (Ne) közelítés
 - Hosszú farkú eloszlás, hogyan értékeljük ki, pl kevés beütésnél?
- A pálya mentén $\Delta E_i / \Delta x_i$ értékek
 - Levágott átlagolás, (0,50%)
 - Hatványátlagok
 - Súlyozott átlagolás
 - ⇒ Analitikus modell, MLE

Melyek az optimális súlyok? Si és Ne, $\beta\gamma$, vastagság

Energiaveszteség-ráta becslése – lineáris kombináció



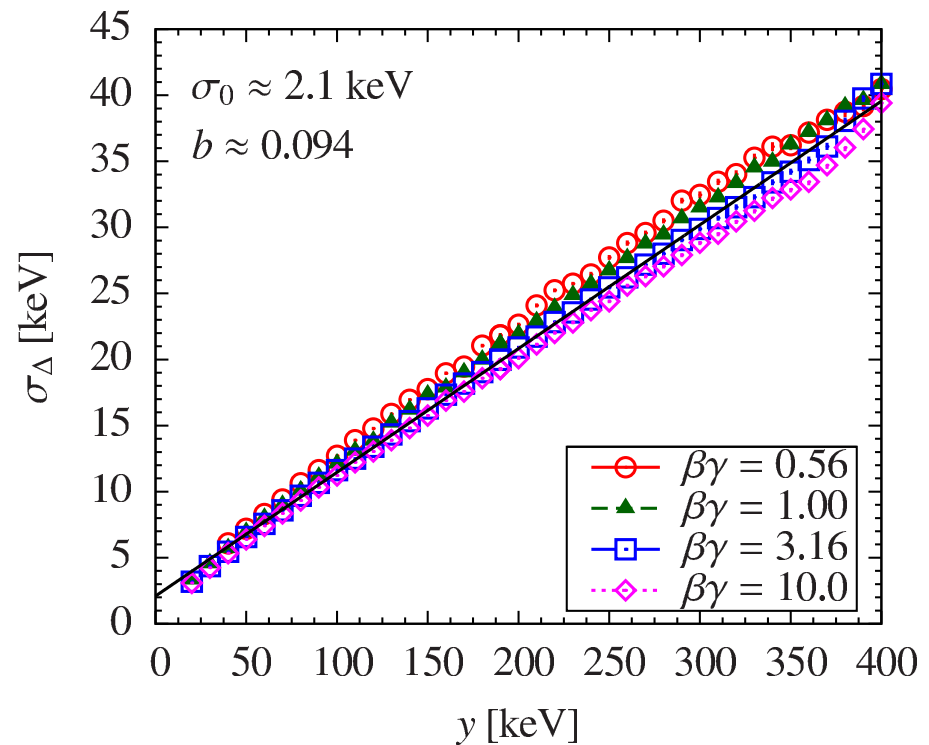
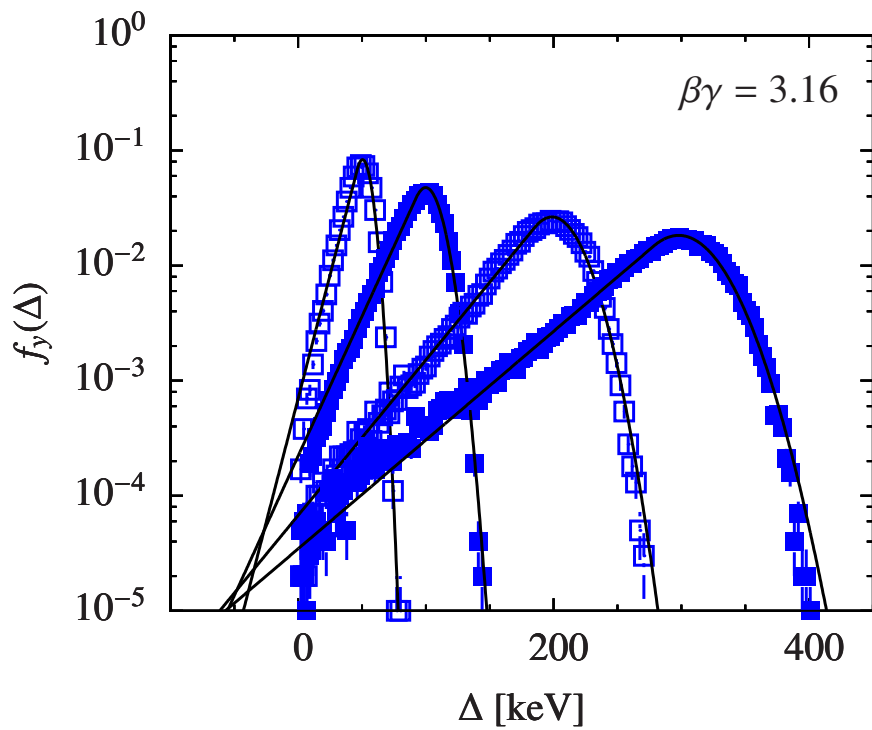
- Optimális súlyok

- Variációs feladat, megoldása $\mathbf{w} = \frac{V^{-1}\mathbf{m}}{\mathbf{1}^T V^{-1}\mathbf{m}}$, a relatív felbontás $\frac{1}{\sqrt{\mathbf{m}^T V^{-1}\mathbf{m}}}$
- $\beta\gamma$ - és vastagság-függetlenek, a nagy energiájú beütések nem fontosak
- Si: egy 0,65 végű lineáris eloszlás a legjobb, MLE-vel sem javítható
- Szoros kapcsolat az energia eloszlások helyi alakjával
hatvány: 0; exp*Gauss: állandó, exp*hatvány: lineáris

Nucl Instrum Meth A 687 (2012) 30

Kisebb javulás Ne-ra, jelentős Si-ra

Egy energiaveszteség parametrizáció



- A legvalószínűbb Δ energiaveszteség

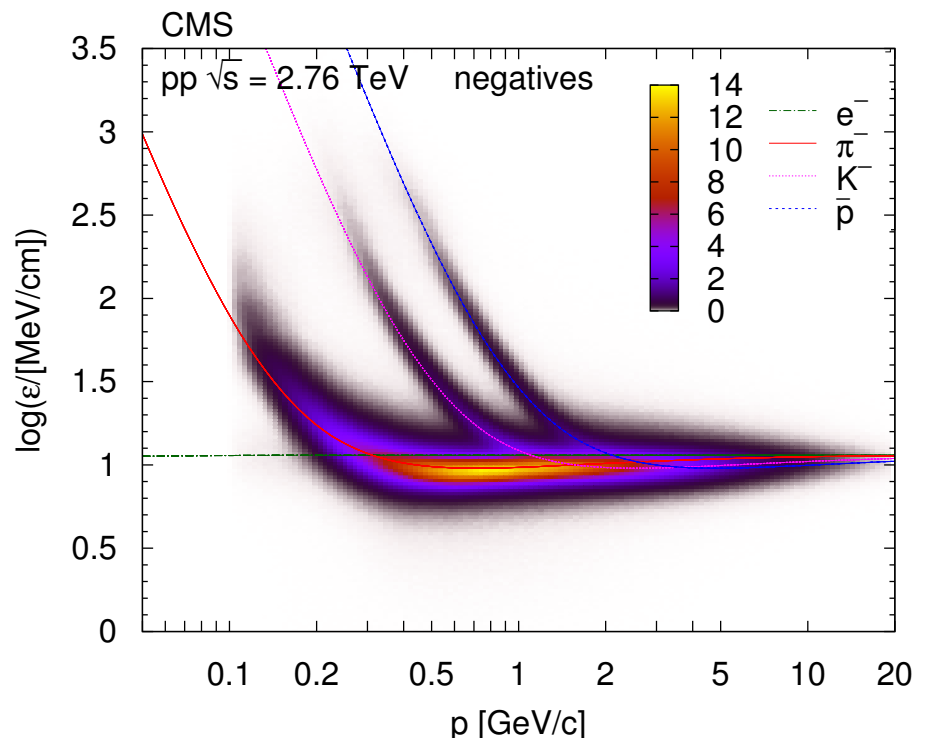
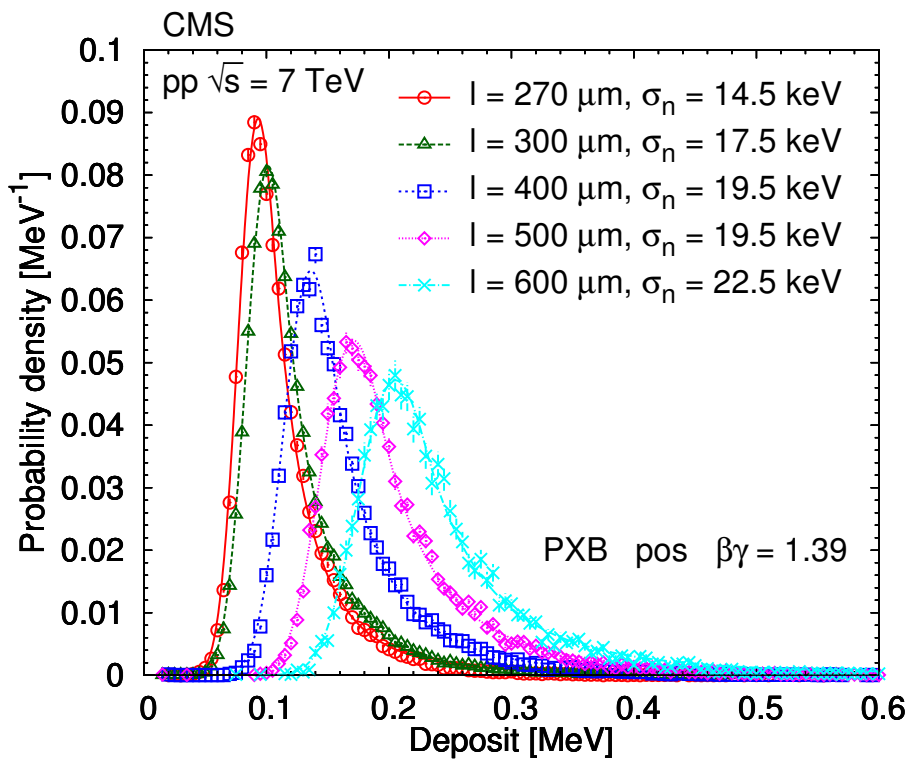
$$\Delta(l) \approx \varepsilon l [1 + a \log(l/l_0)]$$

- Annak a valószínűsége, hogy a beütés energiája y , expo és Gauss-os részek

$$p(y|\varepsilon, l) \approx \frac{1}{\sigma_\Delta} \cdot \begin{cases} \exp \left[\frac{\nu(\Delta-y)}{\sigma_\Delta(y)} + \frac{\nu^2}{2} \right], & \text{ha } \Delta < \Delta^* \\ \exp \left[-\frac{(\Delta-y)^2}{2\sigma_\Delta^2(y)} \right], & \text{ha } \Delta \geq \Delta^*. \end{cases}$$

Egyszerű, de pontos, gyors MLE alkalmazás

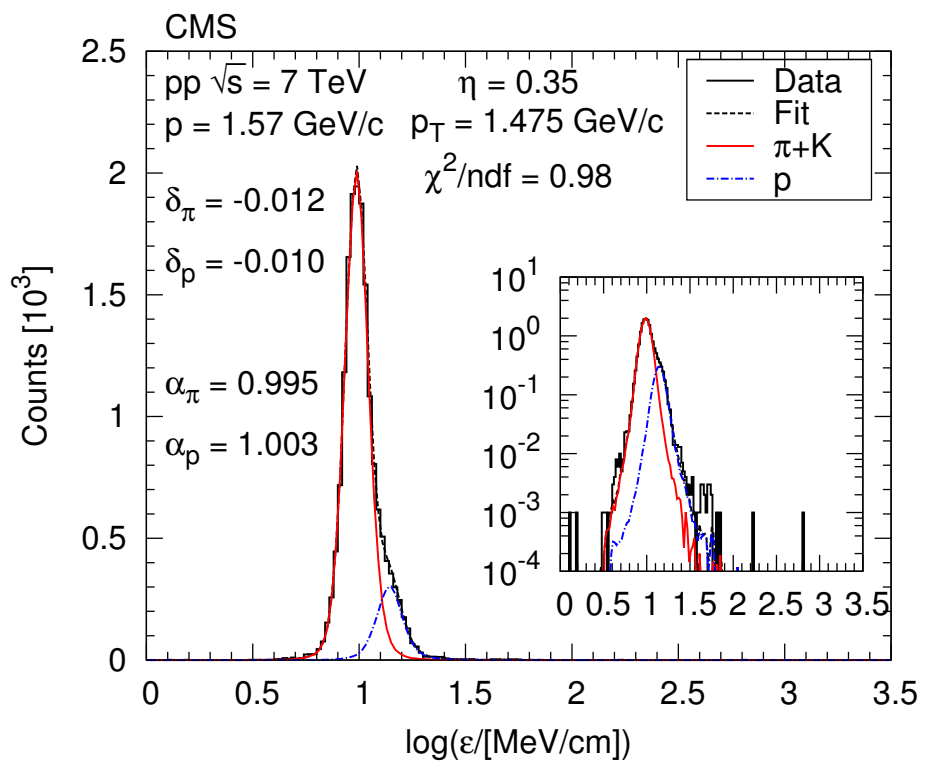
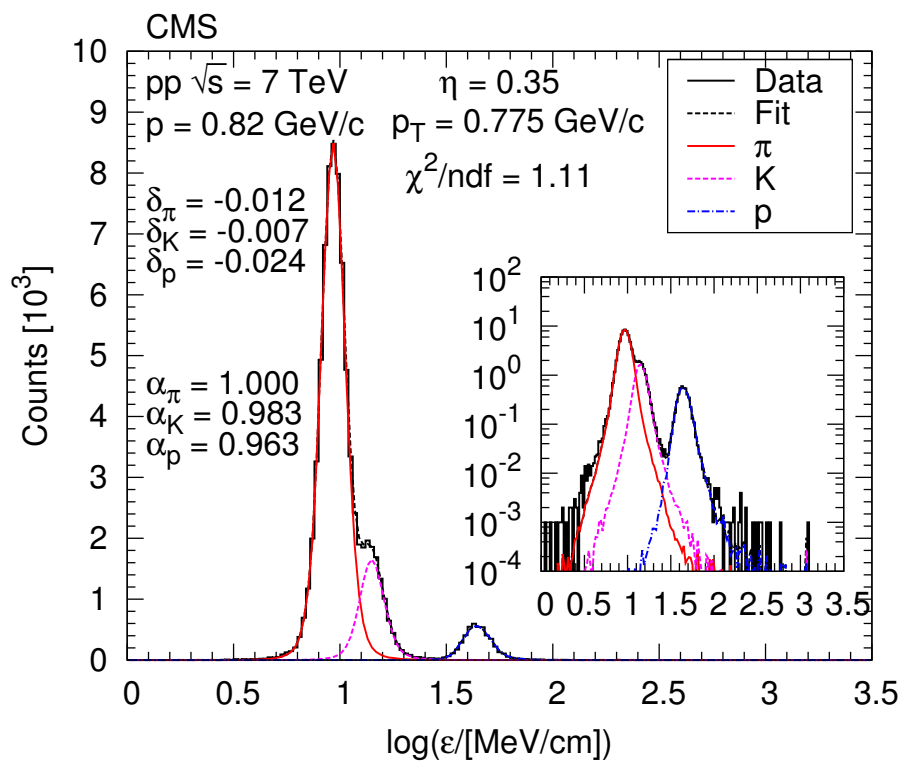
Energiaveszteség-ráta becslése és használata



- CMS alkalmazások

- A detektor kiolvasó chipjeinek erősítéskalibrációja
- A modell ellenőrzése mért adatokkal
 - * az egyezés általában nagyon jó, az analitikus parametrizáció sikeres
- $\log \varepsilon$ becslése mindegy egyes részecskepályára
 - * minimalizáljuk az együttes energiaveszteség χ^2 -ét egy pályára
 - * téves beütések eltávolítása (energiaveszteségen kilógnak)

Energiaveszteség-ráta becslése és használata

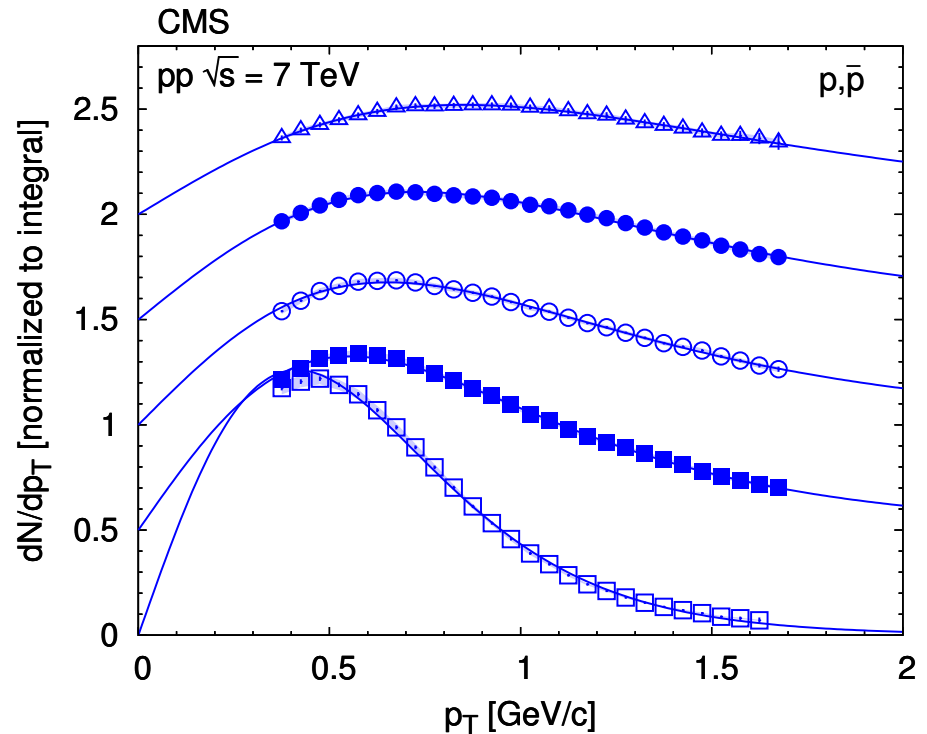
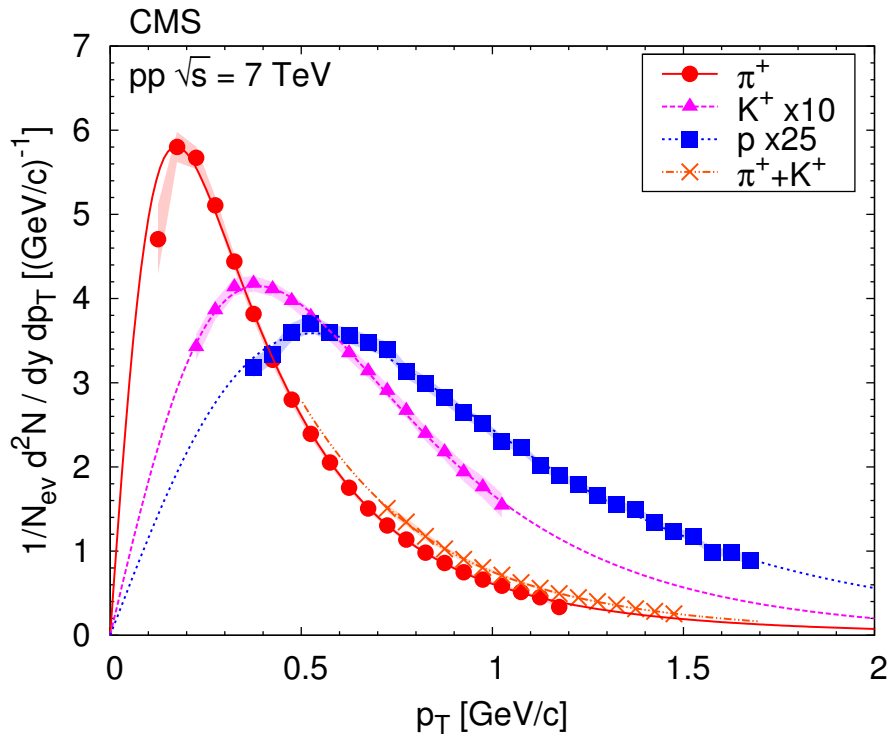


[CMS AN-2010/143]

Template illesztések

Mit mutatnak az adatok?

Azonosított töltött hadronok – p-p

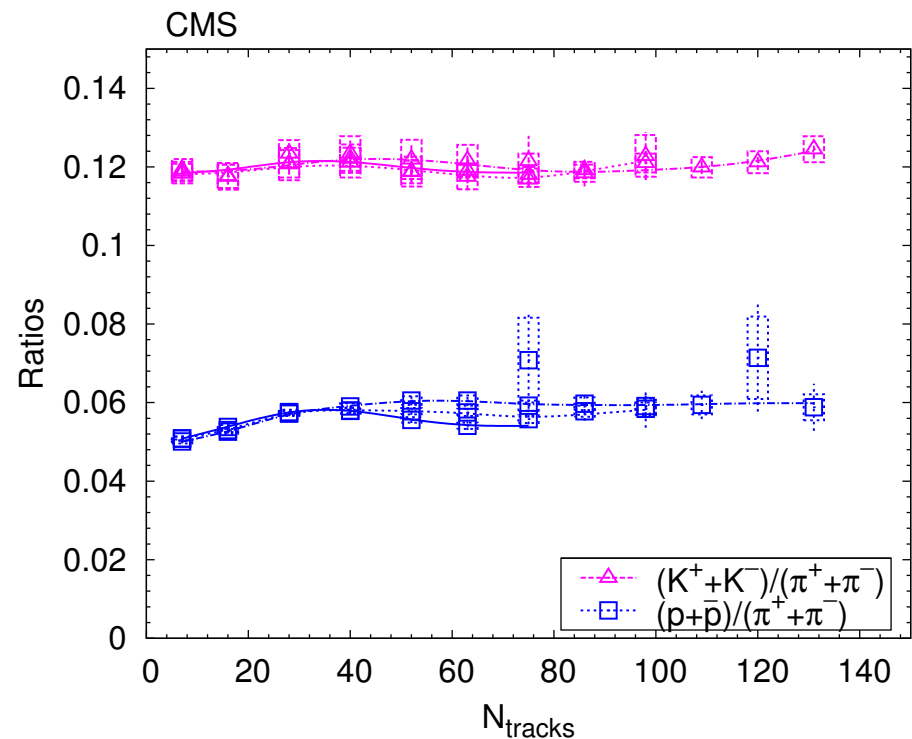
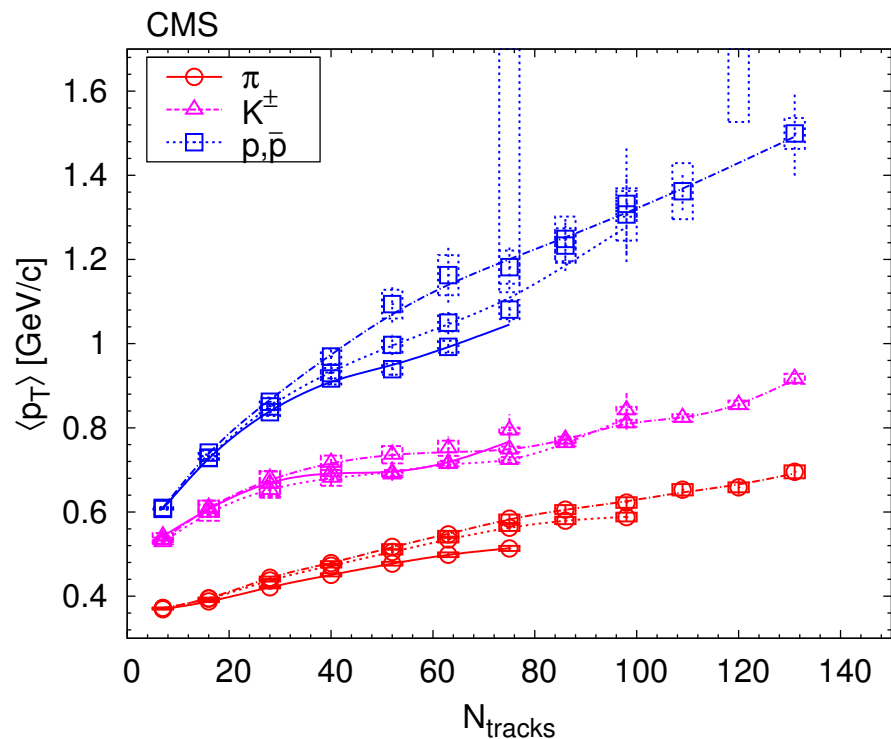


Tsallis-Pareto eloszlás:

$$\frac{d^2N}{dydp_T} = \frac{dN}{dy} \cdot C \cdot p_T \left[1 + \frac{(m_T - m)}{nT} \right]^{-n}$$

Gyökerei a nem-extenzív statisztikában
 n – kitevő, T – meredekség reciproka, m – részecsketömeg

Azonosított töltött hadronok – 0,9, 2.76 és 7 TeV-en

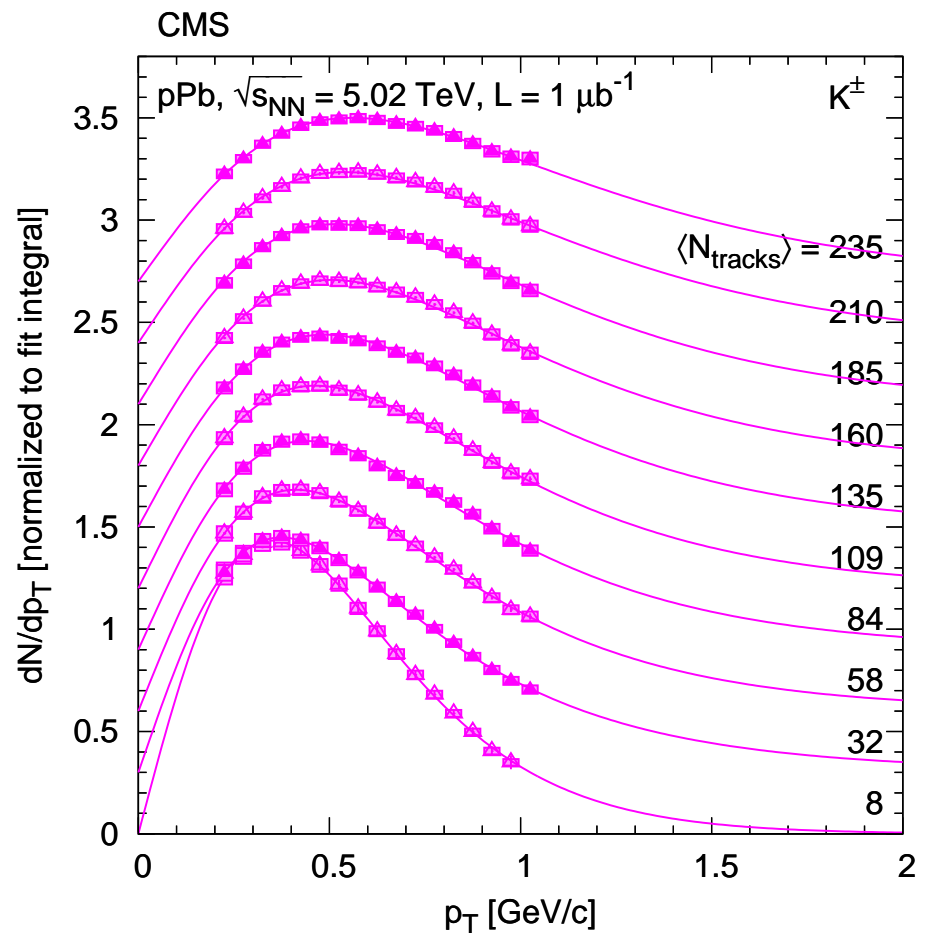
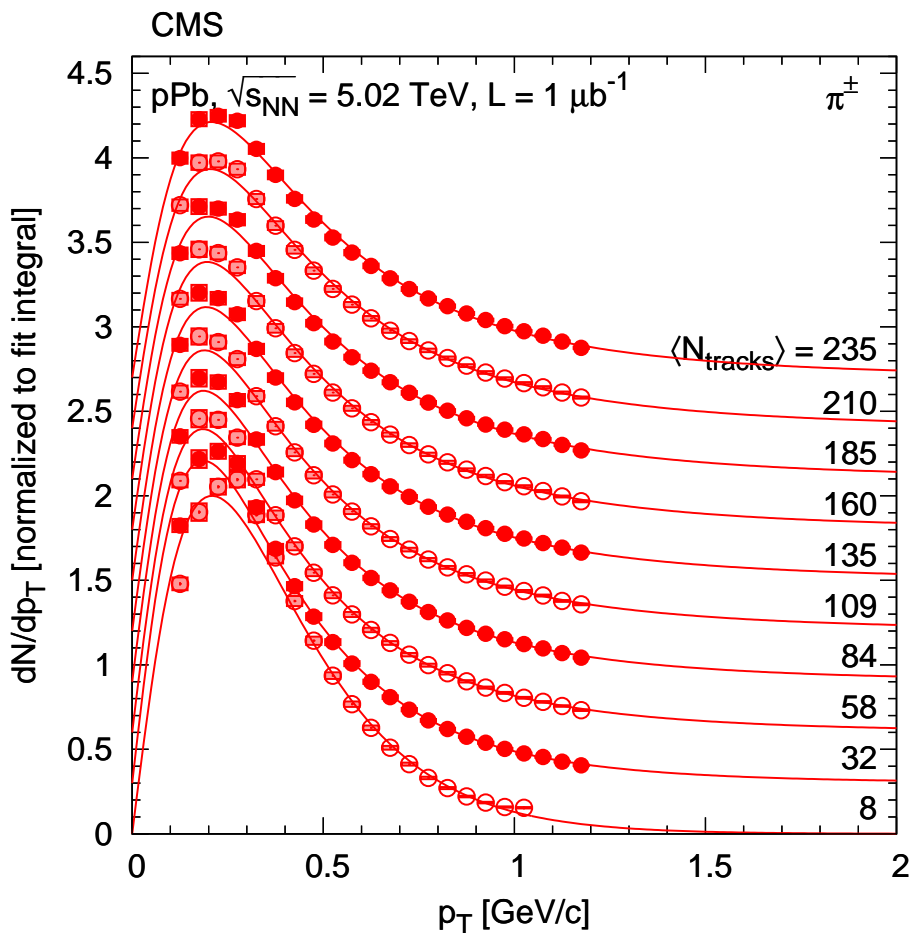


Eur Phys J C 72 (2012) 2164 [CMS AN-2010/143]

A részecske-szám-függés minden energián nagyon hasonló
Energiafüggetlen? A $\langle p_T \rangle$ és hadron-arányok univerzális függése?

A részecskekeltés tulajdonságait a rendelkezésre álló
partonok kezdeti energiája határozza meg

Bonyolítsuk: p-Pb ütközések

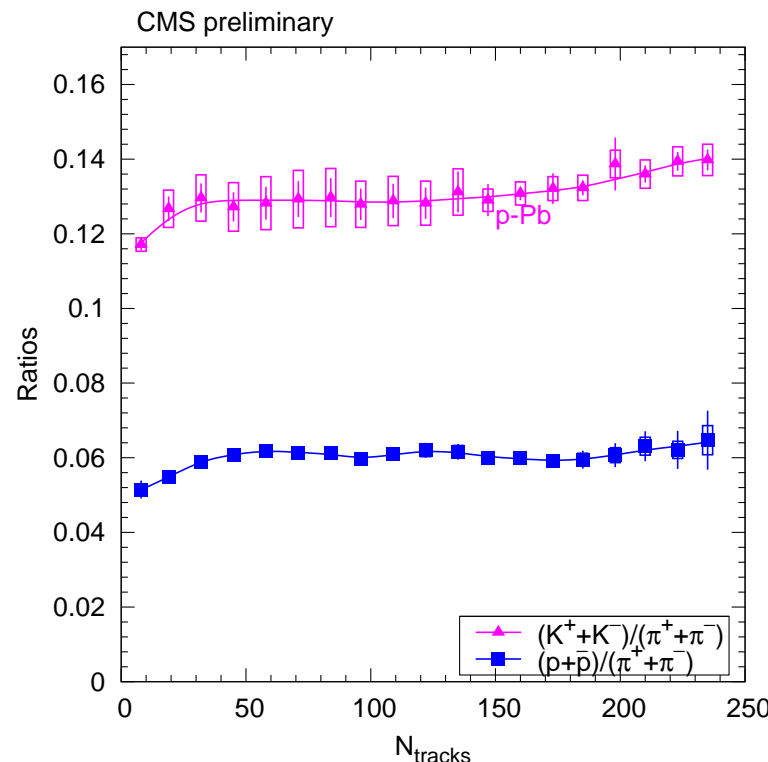
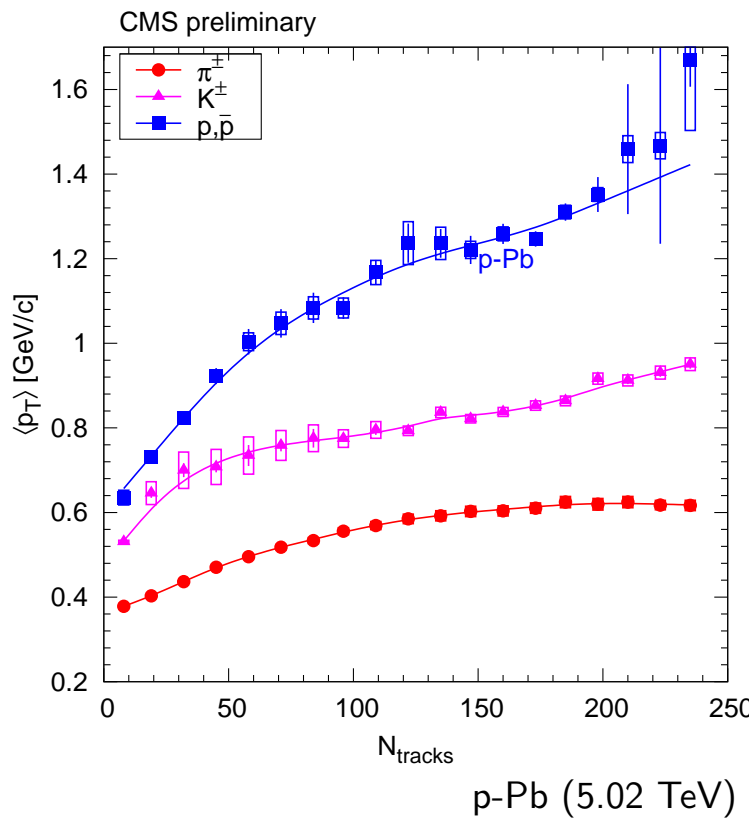


arXiv:1307.3442, submitted to Eur Phys J C [CMS AN/2010-404]

Sokkal magasabb részecskecsiszámok elérhetők, átlagban $p\text{-Pb} = 3.5$ $p\text{-p}$

Mennyire hasonlít egy $p\text{-p}$ és egy $p\text{-Pb}$ ütközés?

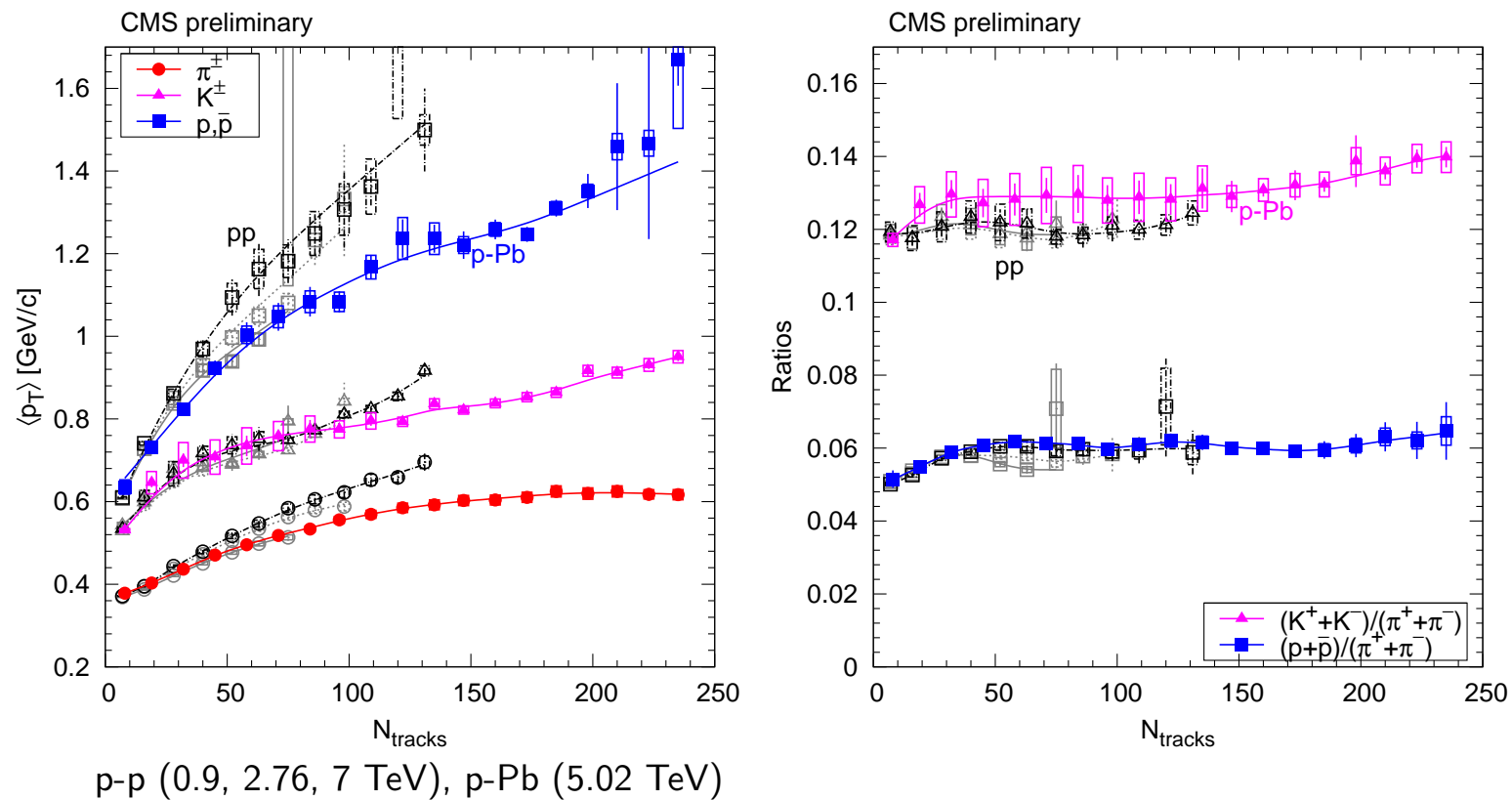
Összehasonlítás – \sqrt{s} függés – p-Pb



Differenciáltan növekvő merőleges impulzus,
már p-Pb-ben is folyik a keltett anyag?

A ritkaság aránya kissé emelkedik

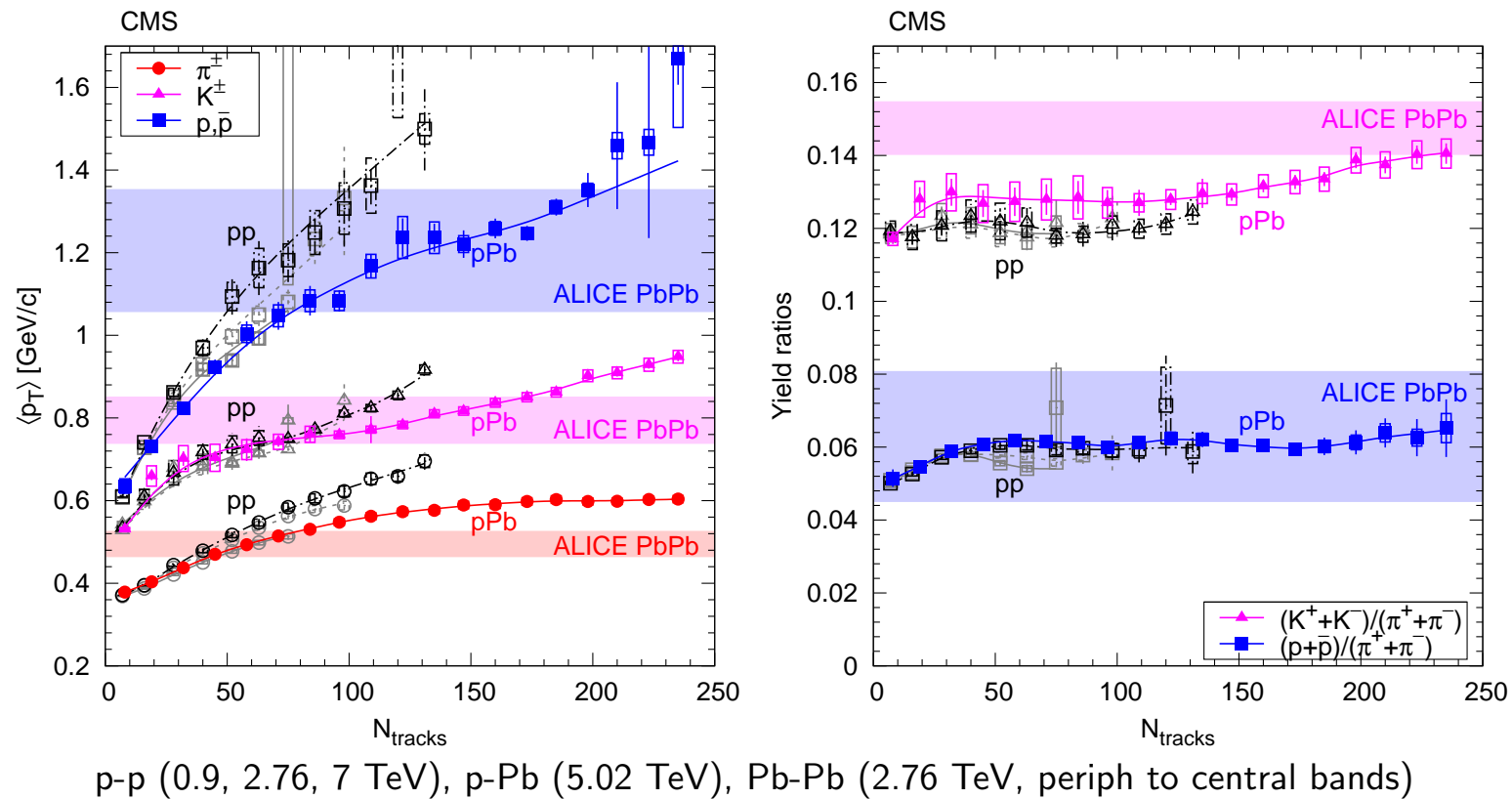
Összehasonlítás – \sqrt{s} függés – p-p vs p-Pb



Alacsony részecskeszámnál p-Pb nagyon hasonló p-p-hez

Nagy részecskeszám: p-Pb esetben kevert proton-nukleon,
ugyanakkor p-p-ben heves ütközések

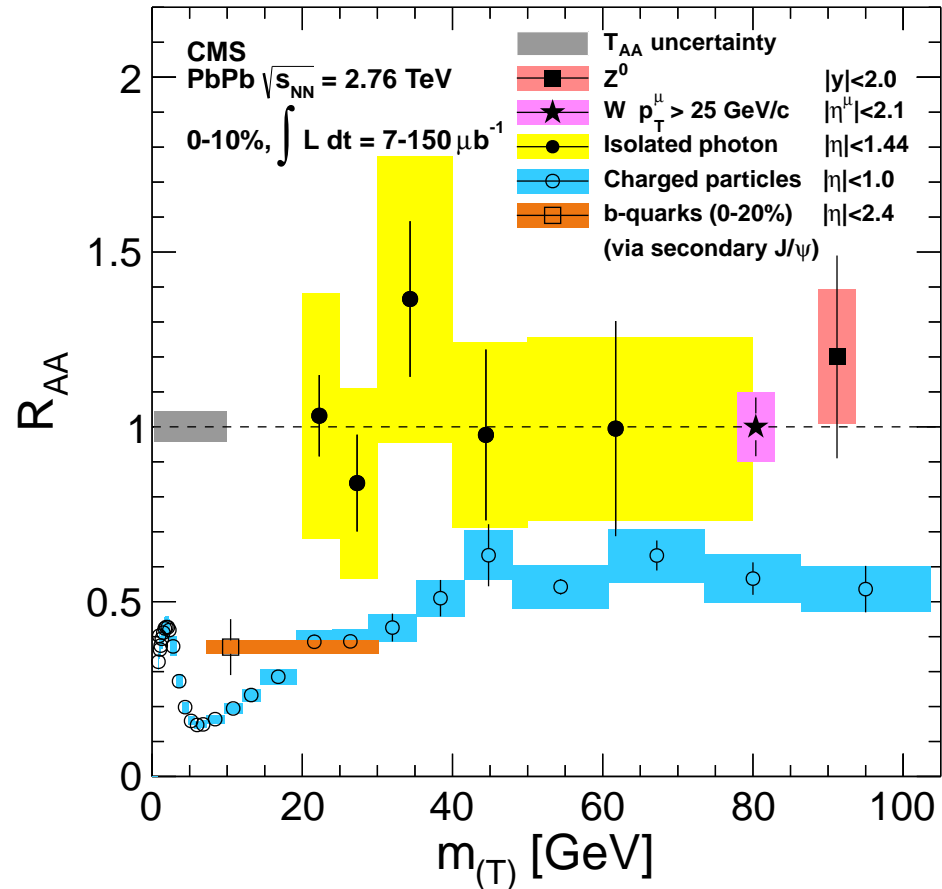
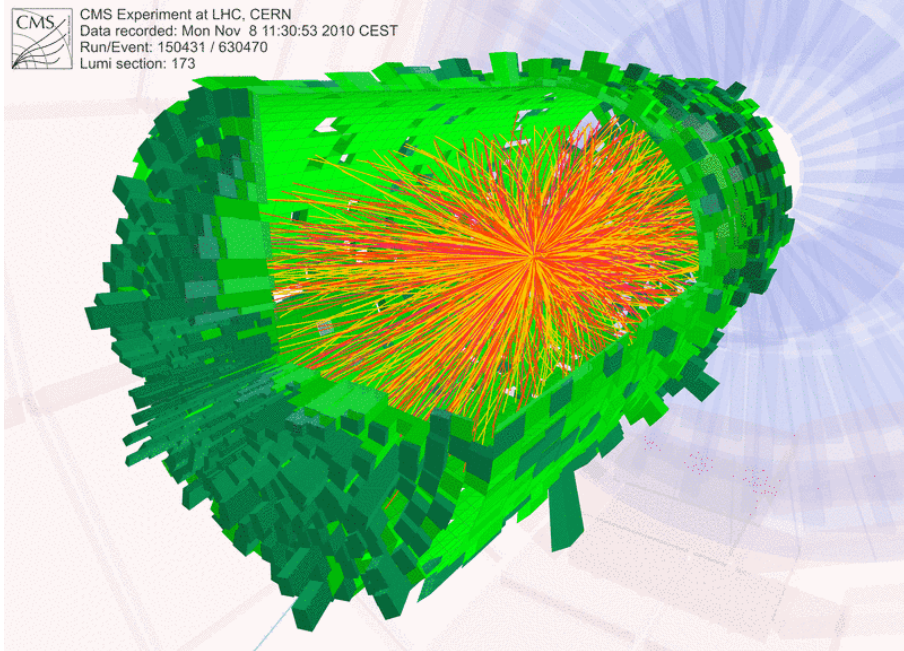
Összehasonlítás – \sqrt{s} függés – p-p vs p-Pb vs Pb-Pb



p-p és p-Pb esetén a leghevesebb ütközéseket válogatjuk
Ezek Pb-Pb-ben periférikus ütközéseknek felelnek meg

Nehézionok ütközései – a keltett részecskék

Kis Bumm



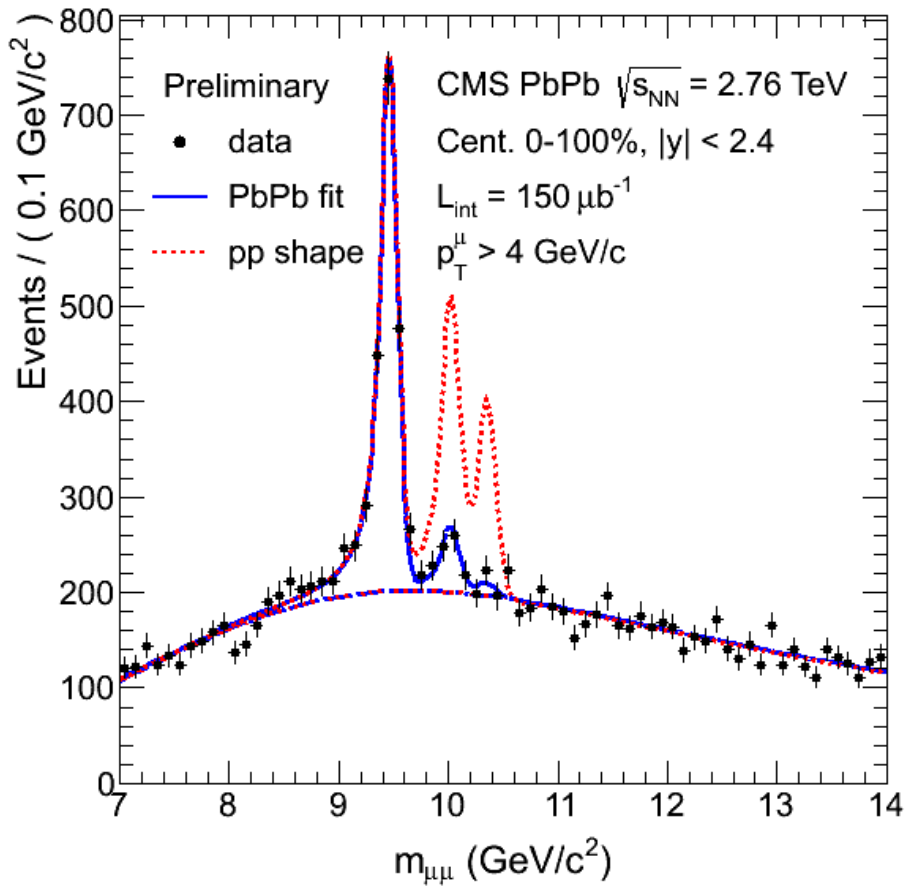
CMS PAS HIN-12-008 [CMS AN-2012/085]

A forró és sűrű maganyagban az erősen kölcsönható részecskék lelassulnak

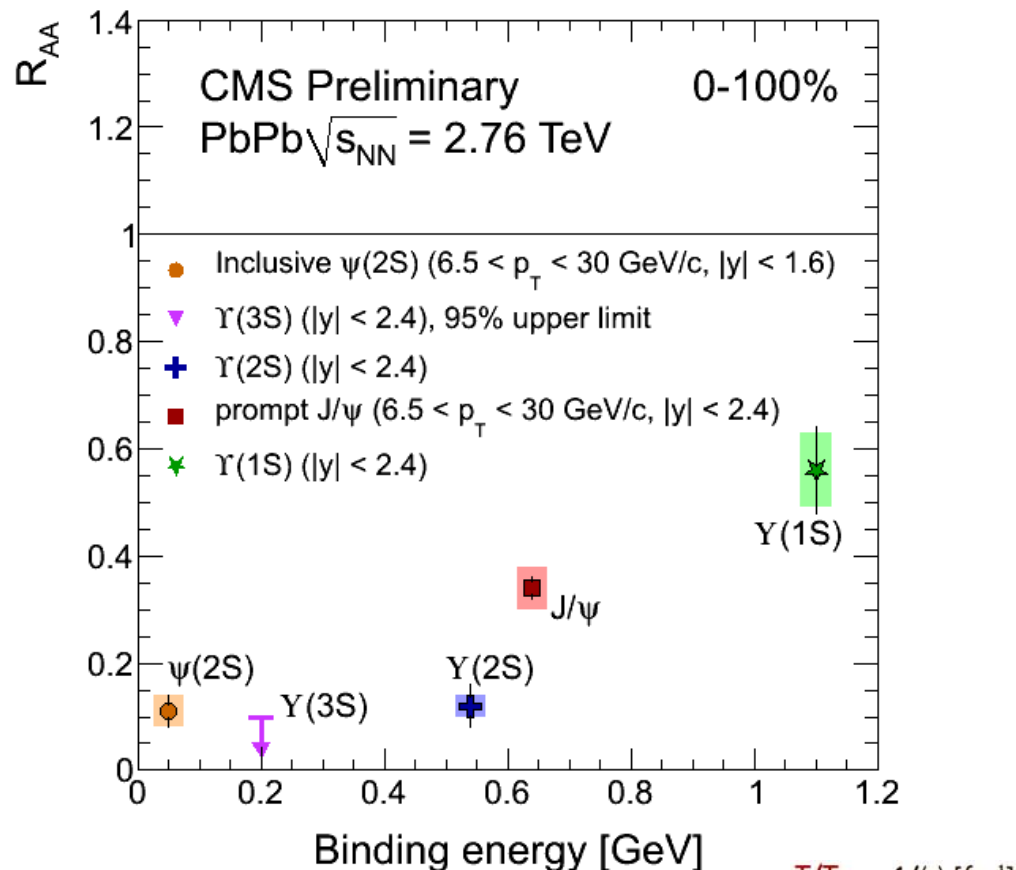
Az elektrogyenge bozonok (W^\pm , Z^0 , foton) változatlanok

Nehézionok ütközései – müonpárra bomló rezonanciák

γ család



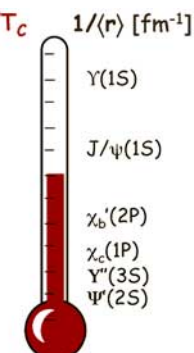
Rezonanciák elnyomása



Phys Rev Lett 109 (2012) 222301 [CMS AN-2011/455]

A forró és sűrű maganyagban a gyengébben kötött rezonanciák eltűnnek

Meg tudjuk mérni a keletkezett anyag hőmérsékletét

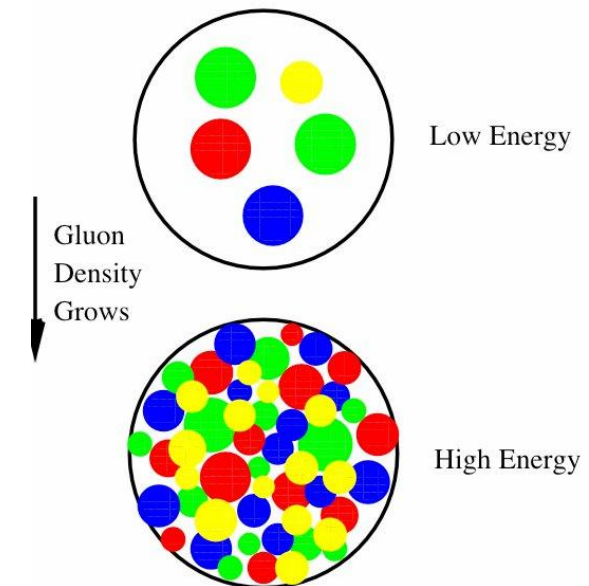


Összefoglalás

- Kiértékelési eszközök
 - matematika, algoritmusok, modellezés

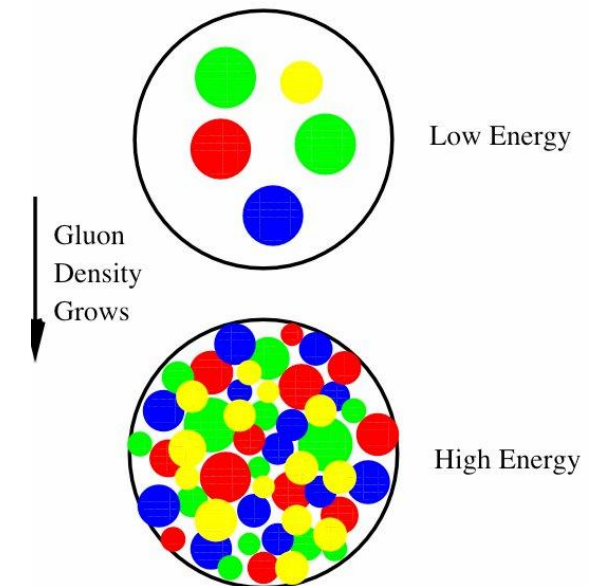
Összefoglalás

- Kiértékelési eszközök
 - matematika, algoritmusok, modellezés
- Kölcsönhatások összehasonlítása
 - Tsallis-Pareto eloszlások sikere
 - * alkalmasak fraktálszerkezetű, valamint kaotikus jellegű dinamikai rendszerek leírására
 - * a rendelkezésre álló fázisteret véletlenszerűen, nagyon rövid idő alatt kell betölteni
 - Gluon-telítés, skálázás
 - * a mérhető mennyiségek a keltett részecskék számával erősen korrelálnak



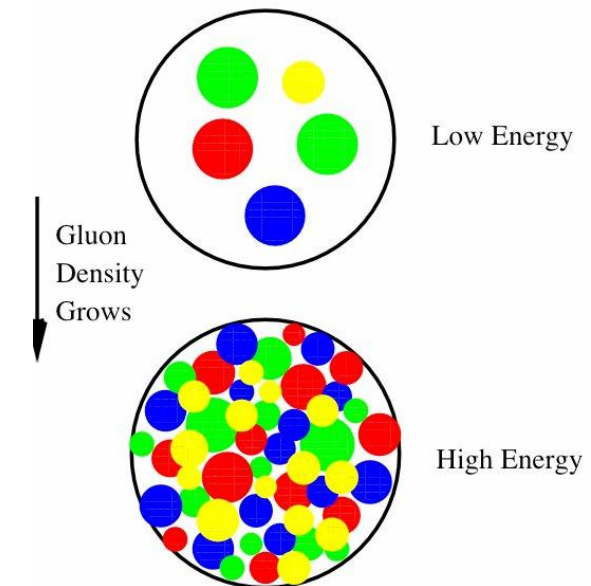
Összefoglalás

- Kiértékelési eszközök
 - matematika, algoritmusok, modellezés
- Kölcsönhatások összehasonlítása
 - Tsallis-Pareto eloszlások sikere
 - * alkalmasak fraktálszerkezetű, valamint kaotikus jellegű dinamikai rendszerek leírására
 - * a rendelkezésre álló fázisteret véletlenszerűen, nagyon rövid idő alatt kell betölteni
 - Gluon-telítés, skálázás
 - * a mérhető mennyiségek a keltett részecskék számával erősen korrelálnak
- Nehézion-ütközések fizikája



Összefoglalás

- Kiértékelési eszközök
 - matematika, algoritmusok, modellezés
- Kölcsönhatások összehasonlítása
 - Tsallis-Pareto eloszlások sikere
 - * alkalmasak fraktálszerkezetű, valamint kaotikus jellegű dinamikai rendszerek leírására
 - * a rendelkezésre álló fázisteret véletlenszerűen, nagyon rövid idő alatt kell betölteni
 - Gluon-telítés, skálázás
 - * a mérhető mennyiségek a keltett részecskék számával erősen korrelálnak
- Nehézion-ütközések fizikája



OTKA

FNSNF